



## รายงานผลการวิจัย

เรื่อง การศึกษาผลของสารต้านอนุมูลอิสระต่อปฎิกริยาออกซิเดชันในไบโอดีเซล

Effect of antioxidants on the oxidative stability of biodiesel

ได้รับการจัดสรรงบประมาณวิจัย ประจำปี 2553  
จำนวน 90,000 บาท

หัวหน้าโครงการ นางฤทุนพร กันย์ก้ว

งานวิจัยเสริมสื้นสมบูรณ์

30/มี.ค./2555

## กิตติกรรมประกาศ

โครงการวิจัยเรื่อง การศึกษาผลของสารต้านอนุมูลอิสระดับปฎิกริยาออกซิเดชันในไบโอดีเซล (Effect of Antioxidants on the Oxidative Stability of Biodiesel) ได้สำเร็จลุล่วง โดยได้รับทุนอุดหนุนการวิจัย จากสำนักวิจัยและส่งเสริมวิชาการเกษตร มหาวิทยาลัยแม่โจ้ ประจำปีงบประมาณ 2553 ผู้วิจัยของอนคุณ คณะวิทยาศาสตร์ หลักสูตรวิทยาศาสตรบัณฑิตสาขาวิชาเคมี ที่อนุเคราะห์เรื่องสถานที่ และอุปกรณ์บางอย่างที่ใช้ในการดำเนินการวิจัยให้เสร็จสิ้นสมบูรณ์

ขอขอบพระคุณ ผู้ช่วยศาสตราจารย์ ดร.วนิทร ชวศิริ ภาควิชาเคมี คณะวิทยาศาสตร์ ฯ ที่ให้ความอนุเคราะห์ด้านเครื่องมือวิเคราะห์และอุปกรณ์สำหรับการวิเคราะห์ในด้านการต้านอนุมูลอิสระ

อุทุมพร กันแก้ว

## สารบัญ

	หน้า
สารบัญตาราง	๗
สารบัญภาพ	๙
อธิบายคำย่อหรือสัญลักษณ์	๙
บทคัดย่อ	๑
Abstract	๒
คำนำ	๓
วัตถุประสงค์ของการวิจัย	๙
ประโยชน์ที่คาดว่าจะได้รับ	๙
การตรวจเอกสาร	๑๐
อุปกรณ์และวิธีการ	๑๓
ผลการทดลอง และวิเคราะห์ผลการวิจัย	๒๐
สรุปผลการวิจัย	๕๙
เอกสารอ้างอิง	๖๐

## สารบัญตาราง

	หน้า
ตารางที่ 1 ผลกระบวนการของผลิตภัณฑ์ที่เกิดจากกระบวนการออกซิเดชันของไบโอดีเซลคต่อเครื่องยนต์	4
ตารางที่ 2 ผลการสังเคราะห์ 2-(3,4-Dihydroxybenzyl) hydroquinone โดยใช้ปฏิกิริยาการควบแน่นแบบอัลคออล	21
ตารางที่ 3 สัญญาณจากการวิเคราะห์ผลิตภัณฑ์ที่ได้โดยใช้เทคนิค Flourier transform Infrared spectroscopy และ 1H-NMR spectroscopy โดยแสดงลักษณะทางโครงสร้างของ 2-(3,4-Dihydroxybenzyl) hydroquinone	24
ตารางที่ 4 ผลการวิเคราะห์ฤทธิ์การต้านปฏิกิริยาออกซิเดชัน โดยวิธี DPPH radical scavenging assay	26
ตารางที่ 5 ค่าการดูดกลืนแสงที่ความยาวคลื่น 517 nm และค่า % inhibition ของสารมาตรฐานBHT โดยวิธี Spectrophotometric assay	27
ตารางที่ 6 ค่าการดูดกลืนแสงที่ความยาวคลื่น 517 nm และค่า % inhibition ของสารสังเคราะห์อนุพันธ์ไฮโดรควิโนน 2-(3,4-Dihydroxybenzyl) hydroquinone โดยวิธี Spectrophotometric assay	30
ตารางที่ 7 ผลการคำนวณค่า IC <sub>50</sub> จากการฟาร์กวนสัมพันธ์ระหว่าง % DPPH inhibition กับความเข้มข้นของสารสังเคราะห์อนุพันธ์ไฮโดรควิโนน	31
ตารางที่ 8 ร้อยละผลผลิตของเมทิลเอสเทอร์จากน้ำมันปาล์ม น้ำมันที่เหลือใช้จากการทอด น้ำมันละหุ่ง และน้ำมันถั่วเหลือง	35
ตารางที่ 9 เวลาค่าคงค้างกรดไบมันเมทิลเอสเทอร์ของสารมาตรฐานที่มีจำนวนสารนับอน 16-22	36
ตารางที่ 10 เวลาค่าคงค้างของกรดไบมันที่เป็นองค์ประกอบในน้ำมันปาล์ม	38
ตารางที่ 11 เวลาค่าคงค้างของกรดไบมันที่เป็นองค์ประกอบในน้ำมันที่เหลือใช้จากการทอด	39
ตารางที่ 12 เวลาค่าคงค้างของกรดไบมันที่เป็นองค์ประกอบในน้ำมันถั่วเหลือง	41
ตารางที่ 13 เวลาค่าคงค้างของกรดไบมันที่เป็นองค์ประกอบในน้ำมันถั่วเหลือง	42
ตารางที่ 14 ร้อยละองค์ประกอบของกรดไบมันเมทิลเอสเทอร์จากน้ำมันปาล์ม	43

ตารางที่ 15	ร้อยละของค์ประกอบของกรดไบมันเมทิลเอสเทอร์จากน้ำมันที่เหลือใช้ จากการทดสอบ	44
ตารางที่ 16	ร้อยละของค์ประกอบของกรดไบมันเมทิลเอสเทอร์จากน้ำมันถ้วนเหลือง	45
ตารางที่ 17	ร้อยละของค์ประกอบของกรดไบมันเมทิลเอสเทอร์จากน้ำมันถ้วนเหลือง	46
ตารางที่ 18	ค่าสปอนนิฟิเคชันของกรดไบมันเมทิลเอสเทอร์จากน้ำมันปาล์ม	47
ตารางที่ 19	ผลการคำนวณค่าสปอนนิฟิเคชันของเมทิลเอสเทอร์จากน้ำมันปาล์ม น้ำมันที่เหลือใช้จากการทดสอบ น้ำมันละหุ่ง และน้ำมันถ้วนเหลือง	47
ตารางที่ 20	การคำนวณค่าไออกอีดีนของกรดไบมันเมทิลเอสเทอร์จากน้ำมันปาล์ม น้ำมันที่เหลือใช้จากการทดสอบ น้ำมันละหุ่ง และน้ำมันถ้วนเหลือง	48
ตารางที่ 21	ผลการคำนวณค่าไออกอีดีนของเมทิลเอสเทอร์จาก น้ำมันปาล์ม น้ำมันที่เหลือ ใช้จากการทดสอบ น้ำมันถ้วนเหลือง และน้ำมันละหุ่ง	49
ตารางที่ 22	ผลการคำนวณค่าซีเทนของเมทิลเอสเทอร์จาก น้ำมันที่เหลือใช้ ใช้จากการทดสอบ น้ำมันถ้วนเหลือง และน้ำมันละหุ่ง	50
ตารางที่ 23	ผลการคำนวณค่าความร้อนของการเผาไหม้ (HG) ของเมทิลเอสเทอร์ จากน้ำมันปาล์ม น้ำมันที่เหลือใช้จากการทดสอบ น้ำมันถ้วนเหลือง และน้ำมันละหุ่ง	51
ตารางที่ 24	ผลการคำนวณค่าของกรดของเมทิลเอสเทอร์จากน้ำมันปาล์ม น้ำมันที่เหลือ ใช้จากการทดสอบ น้ำมันถ้วนเหลือง และน้ำมันละหุ่ง	53
ตารางที่ 25	ผลการทดสอบค่าสตีเบรภาพต่อการเกิดปฏิกิริยาออกซิเดชัน ด้วยเครื่อง Rancimat	53
ตารางที่ 26	ผลการเปรียบเทียบสมบัติทางเชื้อเพลิงของ ไบโอดีเซลจากน้ำมันปาล์ม ระหว่าง ไบโอดีเซลที่ผสมสารต้านอนุมูลอิสระกับ ไบโอดีเซลที่ไม่ผสม สารต้านอนุมูลอิสระ	54
ตารางที่ 27	ผลการเปรียบเทียบสมบัติทางเชื้อเพลิงของ ไบโอดีเซลจากน้ำมันที่เหลือใช้ จากการทดสอบระหว่าง ไบโอดีเซลที่ผสมสารต้านอนุมูลอิสระกับ ไบโอดีเซลที่ไม่ผสม สารต้านอนุมูลอิสระ	56
ตารางที่ 28	ผลการเปรียบเทียบสมบัติทางเชื้อเพลิงของ ไบโอดีเซลจากน้ำมันถ้วนเหลือง ระหว่าง ไบโอดีเซลที่ผสมสารต้านอนุมูลอิสระกับ ไบโอดีเซลที่ไม่ผสม สารต้านอนุมูลอิสระ	57
ตารางที่ 29	ผลการเปรียบเทียบสมบัติทางเชื้อเพลิงของ ไบโอดีเซลจากน้ำมันละหุ่ง ระหว่าง ไบโอดีเซลที่ผสมและ ไม่ผสมสารต้านอนุมูลอิสระ	58

## สารบัญภาพ

	หน้า
ภาพที่ 1 ปฏิกริยาการสังเคราะห์ใบโอดีเซล	3
ภาพที่ 2 ปฏิกริยาการสังเคราะห์อนุพันธ์ไฮโดรควิโนน	4
ภาพที่ 3 โครงสร้างของ 2-(3,4-Dihydroxybenzyl) hydroquinone และ 2-(2,3,4-Trihydroxybenzyl) hydroquinone	5
ภาพที่ 4 ลักษณะโครงสร้างของ 2-(4-Hydroxy-3,5-methoxybenzyl) hydroquinone และ Tetra-butyl hydroquinone	5
ภาพที่ 5 โครงสร้างของ butylated hydroxytoluene (BHT)	6
ภาพที่ 6 โครงสร้างของ DPPH radical (1,1-diphynyl 2- picrylhydrazyl radical)	8
ภาพที่ 7 ปฏิกริยาด้านอนุมูลอิสระของสารกับ DPPH (1,1-diphenyl-2-picrylhydrazyl) กับความเข้มข้นของสารสังเคราะห์อนุพันธ์ไฮโดรควิโนน	8
ภาพที่ 8 ลักษณะของแผ่น TLC ก่อนและหลังการพ่น DPPH	15
ภาพที่ 9 ปฏิกริยาการสังเคราะห์ 2-(3,4-Dihydroxybenzyl) hydroquinone โดยใช้ปฏิกริยาการควบแน่นแบบอัลคออล	20
ภาพที่ 10 กลไกการเกิดปฏิกริยาอัลคออลตอนเด่นเช่น	21
ภาพที่ 11 ลักษณะโครงสร้างของ 2-(3,4-Dihydroxybenzyl) hydroquinone	22
ภาพที่ 12 สเปกตรัมของสารสังเคราะห์ 2-(3,4-dihydroxybenzyl) hydroquinone	23
ภาพที่ 13 ปฏิกริยาด้านอนุมูลอิสระของสารกับ DPPH และลักษณะการฟอกขาวสี DPPH ของสารสังเคราะห์อนุพันธ์ไฮโดรควิโนน	25
ภาพที่ 14 กราฟความสัมพันธ์ระหว่าง % DPPH inhibition กับสารมาตรฐาน BHT ที่ความเข้มข้นต่างๆ	28
ภาพที่ 15 กราฟความสัมพันธ์ระหว่าง % DPPH inhibition กับความเข้มข้นของ 2-(3,4-Dihydroxybenzyl) hydroquinone	30
ภาพที่ 16 ชิ้นเลเยอร์ โครม่าโทกราฟีของเมทิลเอสเทอร์จากน้ำมันปาล์ม <sup>*</sup> และน้ำมันที่เหลือใช้จาก การทอด	32
ภาพที่ 17 ชิ้นเลเยอร์ โครม่าโทกราฟีของเมทิลเอสเทอร์จากน้ำมันถั่วเหลือง	33

ภาพที่ 18	ธินเดเยอร์โครโนมาโทกราฟีของเมทิลเอสเทอร์จากน้ำมันละหุ่ง	34
ภาพที่ 19	โครโนมาโตแกรมกรดไขมันเมทิลเอสเทอร์ของสารมาตรฐานที่มีจำนวน การบ่อน 16-22 ที่วิเคราะห์ด้วยคลอเลมัน HP-5 (5% Phenyl Methyl Siloxane) ในช่วงอุณหภูมิ 150-300 °C	36
ภาพที่ 20	โครโนมาโตแกรมอนุพันธ์เมทิลเอสเทอร์ของน้ำมันปาล์ม ที่วิเคราะห์ด้วยคลอเลมัน HP-5 (5% Phenyl Methyl Siloxane) ในช่วงอุณหภูมิ 150-300 °C	37
ภาพที่ 21	โครโนมาโตแกรมอนุพันธ์เมทิลเอสเทอร์ของน้ำมันที่เหลือใช้จากการทอด ที่วิเคราะห์ด้วยคลอเลมัน HP-5 (5% Phenyl Methyl Siloxane) ในช่วงอุณหภูมิ 150-300 °C	39
ภาพที่ 22	โครโนมาโตแกรมอนุพันธ์เมทิลเอสเทอร์ของน้ำมันถั่วเหลือง ที่วิเคราะห์ด้วยคลอเลมัน HP-5 (5% Phenyl Methyl Siloxane) ในช่วงอุณหภูมิ 150-300 °C	40
ภาพที่ 23	โครโนมาโตแกรมอนุพันธ์เมทิลเอสเทอร์ของน้ำมันถั่วถิง ที่วิเคราะห์ด้วยคลอเลมัน HP-5 (5% Phenyl Methyl Siloxane) ในช่วงอุณหภูมิ 150-300 °C	42

# การศึกษาผลของสารต้านอนุมูลอิสระต่อปฏิกิริยาออกซิเดชันในโอดีเซล

## Effect of Antioxidants on the Oxidative Stability of Biodiesel

อุทุมพร กันแก้ว

Uthumporn Kankeaw

คณะวิทยาศาสตร์ หลักสูตรวิทยาศาสตรบัณฑิตสาขาวิชาเคมี มหาวิทยาลัยแม่โจ้ จ.เชียงใหม่ 50290

### บทคัดย่อ

งานวิจัยนี้เป็นการสังเคราะห์ 2-(3,4-Dihydroxybenzyl) hydroquinone โดยอาศัยปฏิกิริยาการควบคุมแบบอัลดอลกระห่าง 1,4-ไซโคลเอกเซนไดโอน กับ 3,4-ไดไฮดรอกซีเบนซ์ดีไฮด์ ซึ่งมีลิเทิร์บินคลอไรด์เป็นตัวเร่งปฏิกิริยา และไพริดินเป็นตัวทำละลาย หลังจากนั้นวิเคราะห์ผลิตภัณฑ์ที่ได้โดยใช้เทคนิค Fourier transform infrared spectroscopy จากสัญญาณスペกตรัมพนสัญญาณที่สำคัญคือ FT-IR ( $\text{KBr, cm}^{-1}$ ) : 3365 (br, O-H str), 2859 (w, C-H str of aromatic), 1465, 1633(s, C=C str of aromatic) และ 1165 (s, C-O str) ซึ่งเป็นไปตามลักษณะโครงสร้างของ 2-(3,4-Dihydroxybenzyl) hydroquinone และเมื่อทดสอบฤทธิ์ต้านอนุมูลอิสระด้วยวิธี DPPH Radical scavenging assay และ Spectrophotometric assay พบว่า ผลิตภัณฑ์ที่สังเคราะห์ได้แสดงฤทธิ์ต้านอนุมูลอิสระด้วยค่า  $IC_{50}$  ท่ากับ  $0.11 \text{ mg/ml}$  จากนั้นจึงนำไปใช้เป็นสารต้านอนุมูลอิสระในโอดีเซลที่เตรียมจากน้ำมันปาล์ม น้ำมันที่ใช้แล้วจากการทอด น้ำมันถั่วเหลือง และน้ำมันมะหุ่ง ที่ความเข้มข้น  $250 \text{ ppm}$  ซึ่งเมื่อทดสอบค่าเสถียรภาพด้วยการเกิดปฏิกิริยาออกซิเดชันคัวข์เครื่อง Rancimat ที่ อุณหภูมิ  $110^\circ\text{C}$  ของเศษเลี้ยง พบว่า ในโอดีเซลที่ไม่ผสมสารต้านอนุมูลอิสระให้ค่าเสถียรภาพต่ำกว่าการเกิดปฏิกิริยาออกซิเดชันต่ำกว่าในโอดีเซลที่ผสมสารต้านอนุมูลอิสระและมีค่าสมบัติทางเชื้อเพลิงของในโอดีเซลที่ต่ำลงเมื่อถูกเก็บรักษาในระยะเวลาเมื่อเปรียบเทียบกับในโอดีเซลที่ผสมสารต้านอนุมูลอิสระ

คำสำคัญ: โอดีเซล สารประกอบ ไโครคิวโนน สารต้านอนุมูลอิสระ

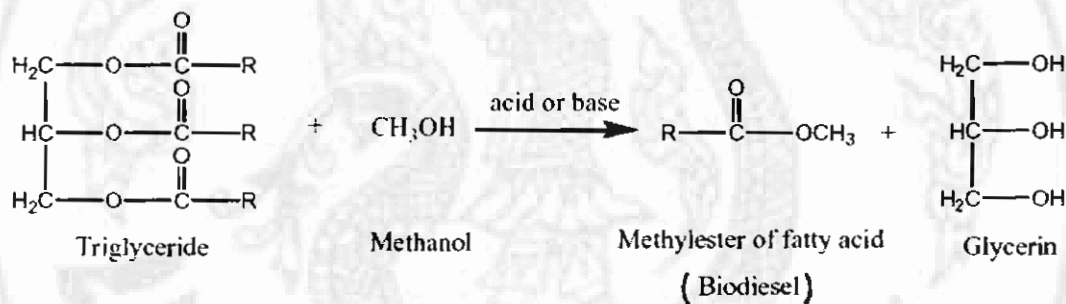
### Abstract

This research due with the synthesis of 2-(3,4-Dihydroxybenzyl) hydroquinone *via* aldol condensation between 1,4-cyclohexanedione and 3,4-dihydroxybenzaldehyde in the presence of lithium chloride as a catalyst in pyridine. The synthesized products were analyzed by Fourier transform infrared spectroscopy. The result showed spectrum at FT-IR (KBr, cm<sup>-1</sup>):3365 (br, O-H str), 2859 (w, C-H str of aromatic), 1465, 1633 (s, C=C str of aromatic) and 1165 (s, C-O str) which is the characteristic of the hydroquinone structure. After that the synthesized products were explored for the antioxidant activity using DPPH Radical Scavenging Assay and Spectrophotometric Assay method, exhibited the high scavenging activity against DPPH radical with IC<sub>50</sub>= 0.11 mg/ml. Then, the product use as antioxidant in biodiesel from palm oil, waste frying oil, soybean oil and castor oil respectively with the concentration of 250 ppm. After testing the oxidation stability at 110°C by Rancimat instrument, it was found that the non-antioxidant biodiesel gave the reduction time and property of biodiesel lower value than the antioxidant biodiesel.

Key words: Biodiesel, Hydroquinone derivative, Antioxidant

## คำนำ

ปัจจุบันประเทศไทยมีความคื้นคัวในเรื่องของพลังงานมีการหาแหล่งพลังงานทดแทนน้ำมันกันอย่างมากโดยเฉพาะในโซเดียมไดออกไซด์นำมาใช้ทดแทนน้ำมันดีเซลในปัจจุบันรัฐบาลกำหนดให้น้ำมันดีเซลที่จำหน่ายอยู่ในท้องตลาดต้องมีส่วนผสมของในโซเดียม (B100) ในสัดส่วน 2% (B2) และส่งเสริมการใช้ในโซเดียม B5 นอกจากนี้ยังส่งเสริมการผลิตในโซเดียมระดับชุมชนเพื่อลดภาระรายจ่ายและสร้างความมั่นคงทางพลังงานอีกด้วย ปัจจัยสำคัญอีกประการหนึ่งที่ในโซเดียมไดรับการสนับสนุนคือการใช้น้ำมันในโซเดียมเป็นมิตรค่อสิ่งแวดล้อมมากกว่าการใช้น้ำมันดีเซลเนื่องจากปริมาณไออกซีเจน เช่นชัลฟอร์ไดออกไซด์ การรับอนุอนต์ออกไซด์ และสารประกอบไออกซิเจนที่น้อยกว่า โดยในกระบวนการผลิตนั้นจะผสมน้ำมันพืชหรือน้ำมันสัตว์กับแอลกอฮอล์ทำปฏิกิริยา transesterification จนได้เชื้อเพลิง ดังสมการ



ภาพที่ 1 ปฏิกิริยาการสังเคราะห์ในโซเดียม

อย่างไรก็ตามพบว่าคุณสมบัตินางประการของในโซเดียมยังด้อยอยู่สำหรับการประยุกต์ใช้กับเครื่องยนต์ เช่นค่าความหนืดและความหนาแน่นที่สูงกว่าดีเซลซึ่งจะส่งผลกระทบต่อประสิทธิภาพการเผาไหม้ทำให้สมรรถนะของเครื่องยนต์ต่ำกว่าการใช้ดีเซลเป็นเชื้อเพลิง นอกจากนี้การนำไปโซเดียมไปใช้งานแทนน้ำมันดีเซลยังคงมีปัญหา เช่นเรื่องความเข้ากันได้ของวัสดุ (Material compatibility) ระหว่างในโซเดียมกับชิ้นส่วนต่างๆของรถยนต์ เนื่องจากในโซเดียมผลิตจากน้ำมันที่ได้จากพืชในธรรมชาติ ซึ่งส่วนใหญ่ประกอบไปด้วยกรดไขมันไม่อิ่มตัวชนิดพันธุ์ไม้ (Unsaturated fatty acids) ซึ่งส่งผลกระทบต่อเสถียรภาพการเกิดปฏิกิริยาออกซิเดชัน (Oxidation stability) ทำให้ในโซเดียมเกิดการเสื่อมสภาพได้ง่าย โดยเฉพาะเมื่อถูกเก็บรักษาในระยะเวลาหรือถูกกระตุ้นด้วยสิ่งด่างๆ เช่น แสง โลหะหรืออุณหภูมิ เมื่อในโซเดียมเกิดปฏิกิริยาออกซิเดชันค่าความเป็นกรดจะเพิ่มสูงขึ้นและส่งผลให้วัสดุที่เป็นโลหะเกิดการกัดกร่อนได้ง่าย นอกจากนี้ในโซเดียมยังมีความสามารถในการดูดความชื้นจากบรรยากาศได้ดี (Hygroscopic) เป็นผลให้เกิดปฏิกิริยา

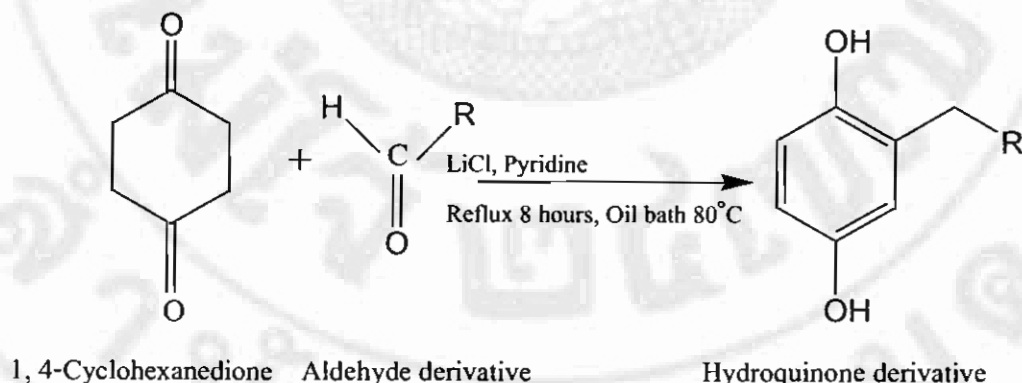
ไฮโดรไอลิซิส (Hydrolysis) กรณีไขมันอิสระที่ได้จากปฏิกิริยานี้จึงสามารถสร้างปัจ្យาการกัดกร่อนในถังน้ำมันเชื้อเพลิง เช่น กันดังตารางที่ 1 (อุตุณย์ และคณะ, 2552)

ตารางที่ 1 ผลกระทบของผลิตภัณฑ์ที่เกิดจากกระบวนการออกซิเดชันของไขมันโดยใช้ต่อเครื่องบันต์

ผลิตภัณฑ์	ผลกระทบ
เยอร์อ็อกไซด์	- การเปลี่ยนส่วนของไขมัน
กรณีไขมัน	- การกัดกร่อนของชั้นส่วนโลหะ
Soluble polymers	- การเกิดสนู'
Insoluble polymers	- เกิดยางเหนียว
	- การอุดตันในหัวฉีดและชั้นส่วนอื่น ๆ ของเครื่องบันต์

ดังนั้นงานวิจัยนี้ จึงได้สังเคราะห์สารประกอบจำพวกไฮโดรควิโนน เพื่อเป็นสารต้านอนุมูลอิสระในไขมันโดยใช้ช่วยแก้ปัจ្យาการดังที่กล่าวไว้ข้างต้นได้

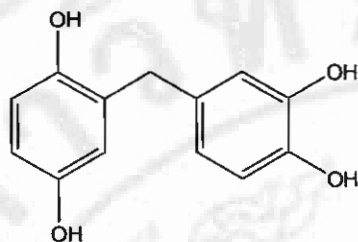
อนุพันธ์ไฮโดรควิโนนที่ใช้สังเคราะห์ได้จากปฏิกิริยาการควบแน่นแบบอัลดอลระหว่าง 1,4-Cyclohexanedione และอนุพันธ์อัลดีไฮด์ชนิดต่างๆ แสดงในภาพที่ 2



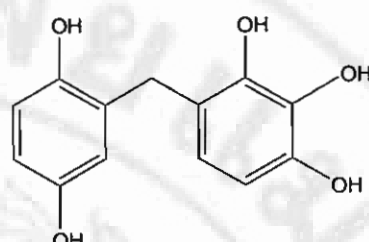
## ภาพที่ 2 ปฏิกิริยาการสังเคราะห์อนุพันธ์ไฮโดรควิโนน

อนุพันธ์ไฮโดรควิโนนที่ใช้มากในอุตสาหกรรม ได้แก่ Tetra-butyl hydroquinone (TBHQ) และมีงานวิจัยอื่นที่ได้ทำการสังเคราะห์อนุพันธ์ไฮโดรควิโนนซึ่งพบว่าแสดงฤทธิ์ต้านอนุมูลอิสระ DPPH ในระดับสูงกว่า TBHQ ซึ่งจะใช้ในงานวิจัยนี้ ได้แก่ 2-(3,4-Dihydroxybenzyl)

hydroquinone2-(2,3,4-Trihydroxybenzyl) hydroquinone และ 2-(4-Hydroxy-3,5-methoxybenzyl) hydroquinone แสดงลักษณะโครงสร้าง ดังภาพที่ 3 และ 4

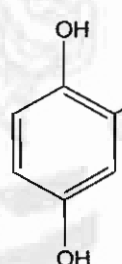


2-(3,4-Dihydroxybenzyl) hydroquinone

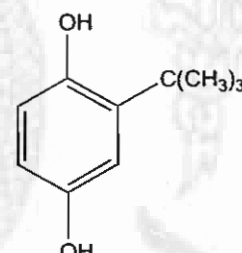


2-(2,3,4-Trihydroxybenzyl) hydroquinone

ภาพที่ 3 โครงสร้างของ 2-(3,4-Dihydroxybenzyl) hydroquinone และ 2-(2,3,4-Trihydroxybenzyl) hydroquinone



2-(4-Hydroxy-3,5-methoxybenzyl) hydroquinone



ภาพที่ 4 ลักษณะโครงสร้างของ 2-(4-Hydroxy-3,5-methoxybenzyl) hydroquinone และ

Tetra-butyl hydroquinone

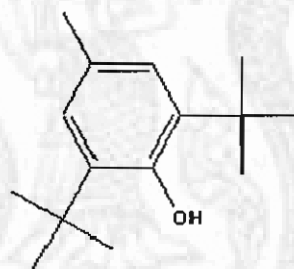
### อนุมูลอิสระ (free radical)

อนุมูลอิสระ คือ อะตอมโมเลกุล หรือสารที่ไม่เสถียรเนื่องจากมีอิเลคตรอนเดี่ยวอยู่ใน ออร์บิทัลวงนอกสุดที่มีระดับพลังงานสูง ซึ่งรวมไปถึงอิออกอนของทราบชิ้นส่วนใหญ่ และอะตอม ของไฮโคลเจน นอกจากนี้โมเลกุลของออกซิเจนก็จัดว่าเป็นอนุมูลเพราะมีอิเลคตรอนจำนวน 2 อิเลคตรอน ซึ่งแต่ละอิเลคตรอนจะแยกกันอยู่เป็นอิเลคตรอนเดี่ยวในแต่ละออร์บิทัล ทั้งนี้การ หมุนรอบตัวเอง (spin) ของอิเลคตรอนทั้งสองจะหมุนแบบคู่ขนานในทิศทางเดียวกัน

อนุมูลอิสระมีทั้งที่อยู่ในสภาพภาวะที่เป็นกลางทางไฟฟ้า ( $R^{\cdot}$ ) และในสภาพภาวะที่มีประจุไฟฟ้า

( $R^\cdot$ ,  $R^{+\cdot}$ ) อนุมูลที่มีน้ำหนักตัวจะไวต่อการเกิดปฏิกิริยามากกว่าอนุมูลที่มีน้ำหนักไม่เลกูลสูงเนื่องจากขาดอิเลคตรอนและพหายานที่จะจับคู่อิเลคตรอนกับอิเลคตรอนเดียวอื่น โดยสารที่ถูกเย่งอิเลคตรอนไป จะเกิดความไม่เสถียรจึงต้องการอิเลคตรอนเข้ามาเพิ่มเพื่อให้คนของเสถียร จึงต้องแบ่งสารอื่นไปเป็นหอดๆ

อย่างไรก็ตาม ยังมีอนุมูลอิสระบางชนิดที่มีความเสถียร เช่น butylated hydroxytoluene (BHT) ภาพที่ 5 เป็นต้น นอกจากรูปข้างบนนี้ยังมีตัวอย่างของอนุมูลอิสระที่มีความสำคัญทางชีวภาพที่ไวต่อการเกิดปฏิกิริยา คือ อนุมูลซุปเปอร์ออกซิ ( $O_2^\cdot$ ) อนุมูลไไฮดรอกซิ ( $\cdot OH$ ) อนุมูลอัลกอออกซิ ( $RO^\cdot$ ) และอนุมูลเปอร์ไไฮดรอกซิ ( $OH_2^\cdot$ ) ส่วนอนุมูลอิสระที่มีความว่องไวรองลงมาได้แก่ ในตริกอออกไซด์ (NO) หรืออนุมูลไนตริกอออกไซด์ ( $\cdot NO$ ) อนุมูลวิตามินอีและอนุมูลวิตามินซี



ภาพที่ 5 โครงสร้างของ butylated hydroxytoluene (BHT)

การเกิดอนุมูลอิสระมีได้หลายกลไกแตกต่างกัน ดังนี้

A. การแตกพันธะของโครงสร้างที่แบบโซโนไลซิส (homolysis)



B. การเพิ่มอิเลคตรอน 1 ตัวให้แก่อะตอมที่เป็นกลาง (ทางไฟฟ้า)

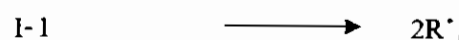


C. การสูญเสียอิเลคตรอน 1 ตัวจากอะตอมที่เป็นกลาง (ทางไฟฟ้า)



โดยหลักการทางเคมีอนุมูลอิสระเกิดได้โดยปฏิกิริยาพลิเมอร์เรซันแบบลูกโซ่รีดิคัล ซึ่งมีขั้นตอนการเกิด 3 ขั้นตอนดังนี้

A. ขั้นเริ่ม (Initiation step) เป็นขั้นที่ก่อให้เกิดอนุมูลอิสระ



เมื่อ I = ตัวเริ่มปฏิกิริยา,  $R^\cdot$  = free radical

B. ขั้นแผ่ขยาย (propagation step) เป็นขั้นที่มีการขยายออกของโมเลกุลพอลิเมอร์ โดยมีการเดินอนอนเมอร์เข้าไปที่ free radical มี 2 แบบ คือ

- แบบหัวต่อหาง (head to tail)
- แบบหัวต่อหัว (head to head)

ปฏิกิริยาการเดินอนอนเมอร์จะเกิดขึ้นเรื่อยๆ จนเป็นพอลิเมอร์ขาวที่มีส่วนปลายเป็น free radical (head to head)

C. ขั้นสิ้นสุด (termination) เป็นการทำปฏิกิริยาของพอลิเมอร์ที่มีส่วนปลายเป็น free radical ด้วยวิธีใดวิธีหนึ่งต่อไปนี้

- การรวมตัว หรือการขับคู่ (combination or coupling) เป็นปฏิกิริยาที่เกิดจากการรวมตัวกันของของโมเลกุลที่มี free radical ปฏิกิริยาแลยสิ้นสุดลง
  - การแยกส่วน (disproportionation) เป็นปฏิกิริยาที่มีการข้ายাঐโดยเร่งจากโมเลกุลข้างเคียงซึ่งจะได้พอลิเมอร์ 1 โมเลกุลที่มีพันธะคู่ตรงปลายโมเลกุล
  - การข้ายางโซ่ (chain transfer) เป็นปฏิกิริยาที่มีการเดินสารที่สามารถให้ไปรอด (Chain transfer agent) แก่พอลิเมอร์ที่มีส่วนปลายเป็น free radical
- เมื่อ TX = สารที่จะลดความไวต่อปฏิกิริยา (active atom) ซึ่งอาจเป็นอนอนเมอร์ พอลิเมอร์ หรือ ตัวทำละลาย

#### สารต้านอนุมูลอิสระ (antioxidant)

เป็นสารที่สามารถกำจัด ยับยั้ง หรือ ทำลายอนุมูลอิสระ โดยการหยุดปฏิกิริยาลูกโซ่ (chain breaking antioxidant) ในการขับยังหรือกำจัดอนุมูลอิสระ เช่น lipid alkoxyl และ peroxy radical เป็นต้น โดยเป็นตัวให้ไฮโดรเจนแก่อนุมูลอิสระเหล่านั้น โดยจะได้ผลิตภัณฑ์เป็นอนุมูลฟิโนกซิลซึ่งเป็นสารที่มีความเสถียรมากกว่า เนื่องจากโครงสร้างของสารต้านอนุมูลอิสระเมื่อการเป็นอนุมูลอิสระแล้วโครงสร้างสารลด Delocalize อิเลคตรอน ได้ตัดขาดเวลาจึงมีความเสถียรมากขึ้น โดยกลไกเป็น ดังปฏิกิริยา โดยยกตัวอย่างสารจำพวก ฟลาโวนอยด์ ซึ่งมีโครงสร้างของไฮโดรควิโนนเป็นองค์ประกอบในโมเลกุล



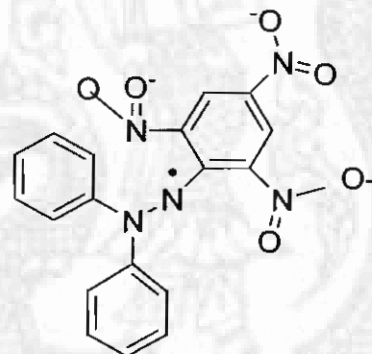
Flavonoid - OH : สารฟลาโวนอยด์

R<sup>·</sup> : อนุมูลอิสระในร่างกาย

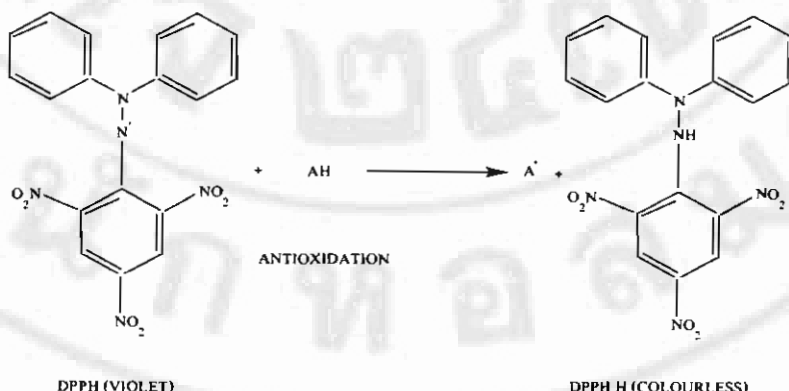
Flavonoid - O<sup>-</sup> : อนุนูลฟีนออกซิล

### การทดสอบฤทธิ์ด้านปฏิกิริยาออกซิเดชัน

การทดสอบฤทธิ์ของสารในการด้านปฏิกิริยาออกซิเดชันสามารถตรวจสอบได้โดยการติดตามปริมาณผลิตภัณฑ์ของปฏิกิริยา โดยในงานวิจัยนี้ได้ทดสอบฤทธิ์ด้านปฏิกิริยาออกซิเดชันด้วยวิธี DPPH radical scavenging assay (Yamasaki และคณะ, 1994) ซึ่งเป็นการทดสอบฤทธิ์ด้านปฏิกิริยาออกซิเดชันโดยให้สารตัวอย่างทำปฏิกิริยากับสาร DPPH (1,1-diphenyl-2-picrylhydrazyl) ซึ่งเป็นอนุนูลอิสระที่เสถียรมีสีน้ำเงิน เมื่อ DPPH ได้รับอิเล็กตรอนหรืออนุนูลอิสระไฮโดรเจน จะเปลี่ยนเป็น DPPH : H ติดตามผลการทดลองโดยวัดการคุกคักลืนแสงของสารละลายที่ความยาวคลื่น 517นาโนเมตร ซึ่งเป็นค่าการคุกคักลืนแสงของ DPPH โดยโครงสร้างแสดงดังภาพที่ 6 และกลไกการด้านอนุนูลอิสระแสดงในสมการ ภาพที่ 7



ภาพที่ 6 โครงสร้างของ DPPH radical (1,1-diphenyl-2-picrylhydrazyl radical)



ภาพที่ 7 ปฏิกิริยาด้านอนุนูลอิสระของสารกับ DPPH (1,1-diphenyl-2-picrylhydrazyl)  
วัดอุปประสงค์ของการวิจัย

1. เพื่อศึกษาการสังเคราะห์สารต้านอนุมูลอิสระ 2-(3,4-Dihydroxybenzyl) hydroquinone โดยปฏิกริยาการควบแน่นแบบอัลคลอไดร์ทว่าง 1,4-Cyclohexanedione กับ 3,4 Dihydroxybenzaldehyde
2. เพื่อศึกษาลักษณะโครงสร้างของอนุพันธ์ไฮโครควิโนนที่สังเคราะห์ได้ ด้วยเทคนิค Fourier transform infrared spectroscopy และ เทคนิค  $^1\text{H}$  nuclear magnetic resonance spectroscopy
3. เพื่อเปรียบเทียบคุณสมบัติในการต้านอนุมูลอิสระของอนุพันธ์ไฮโครควิโนนที่สังเคราะห์ได้ ด้วยเทคนิค DPPH scavenging test และเทคนิค spectrophotometric assay
4. เพื่อศึกษาระบวนการผลิตใบโอดีเซลจาก น้ำมันปาล์ม น้ำมันที่เหลือใช้จากการทอด น้ำมันถั่วเหลือง และน้ำมันละหุ่ง รวมคุณภาพของใบโอดีเซลที่สังเคราะห์ได้
5. เพื่อศึกษาการต้านอนุมูลอิสระในใบโอดีเซลโดยใช้ออนุพันธ์ที่สังเคราะห์ได้

### ประโยชน์ที่คาดว่าจะได้รับ

1. ทราบถึงกระบวนการสังเคราะห์ 2-(3,4-Dihydroxybenzyl) hydroquinone จากปฏิกริยา การควบแน่นแบบอัลคลอไดร์ท
2. ทราบถึงกระบวนการผลิตใบโอดีเซลจากน้ำมันปาล์ม น้ำมันที่เหลือใช้จากการทอด น้ำมันถั่วเหลือง และน้ำมันละหุ่ง
3. ปรับปรุงคุณภาพของใบโอดีเซลจากน้ำมันปาล์ม น้ำมันที่เหลือใช้จากการทอด น้ำมันถั่วเหลือง และน้ำมันละหุ่ง ที่มีการเติมสารต้านอนุมูลอิสระที่สังเคราะห์ง่าย และราคาไม่แพง
4. ถ่ายทอดความรู้โดยการเผยแพร่องานวิชาการ เพื่อปรับใช้ในการปรับปรุงคุณภาพใบโอดีเซล ในโครงการผลิตใบโอดีเซลตามแหล่งชุมชนต่างๆ

## การตรวจเอกสาร

ณัฐพร บุญมาครอง (2553: 65) รายงานว่า การศึกษาการสังเคราะห์อนุพันธ์ไฮโดรควิโนนด้วยปฏิกิริยาการควบแน่นแบบอัดอัลตราห่วง 1,4-Cyclohexanedione กับอนุพันธ์ของอัลเดียร์ 4 ชนิด ได้แก่ 2,3,4-ไฮดราซีโรกซีเบนซัลเดียร์ 3-ไนโตรเบนซัลเดียร์ 3,4-ไฮดราซีโรกซีเบนซัลเดียร์ และ 3,5-เมทอกซี-4-ไฮดราซีโรกซีเบนซัลเดียร์ ซึ่งสารสังเคราะห์อนุพันธ์ไฮโดรควิโนนที่ได้คือ 2-(2,3,4-Trihydroxybaryl) hydroquinone, 2-(3-Nitrobenzyl) hydroquinone, 2-(3,4-Dihydroxybenzyl) hydroquinone และ 2-(4-Hydroxy-3,5-dimethoxybenzyl) hydroquinone จากผลการศึกษาฤทธิ์ด้านอนุมูลอิสระเบื้องต้นด้วยวิธี DPPH radical scavenging ชี้ให้เห็นว่า สารสังเคราะห์อนุพันธ์ไฮโดรควิโนนทั้ง4ชนิดแสดงฤทธิ์ด้านอนุมูลอิสระและเมื่อนำมาวิเคราะห์เชิงปริมาณ โดยวิธี Spectrophotometric assay พบว่า 2-(3,4-Dihydroxybenzyl) hydroquinone แสดงฤทธิ์ด้านอนุมูลอิสระได้ดีที่สุด ด้วยค่า  $IC_{50}$  เท่ากับ 0.11 mg/ml อีกทั้งได้นำสารสังเคราะห์อนุพันธ์ไฮโดรควิโนนทั้ง 4 ชนิด มาทดสอบเพื่อเป็น สารตัวเดินในน้ำแข็งขันพบว่า ยางที่ผ่านสารสังเคราะห์อนุพันธ์ไฮโดรควิโนนชนิด 2-(3,4-Dihydroxybenzyl) hydroquinone สามารถทนสารเคมีและดูทำลายได้ดีที่สุด ด้วยค่า Swelling ratio เท่ากับ 1.00 เมื่อเทียบกับสารมาตรฐาน โลวินอกซ์ และเมื่อศึกษาระบวนการเปลี่ยนแปลงทางความร้อน โดยใช้เทคนิค Differential scanning calorimetry พบว่ายางที่ผ่านสารสังเคราะห์อนุพันธ์ไฮโดรควิโนนทุกชนิดมีความเสถียรทางความร้อนที่ดีขึ้น โดยมีจุดหลอมเหลวที่สูงกว่าจุดหลอมเหลวของยางธรรมชาติ

วินาถा เมืองอ่อน และศรีณา โพธิ์ดี (2544: 25) รายงานว่า การหาสภาวะที่เหมาะสมในการผลิตใบโอดีเซลจากน้ำมันปาล์มใช้แล้ว โดยใช้ปฏิกิริยาทรานส์เอสเตอโรฟิเกชันและมิโซเดียมไฮดรอกไซด์เป็นตัวเร่งปฏิกิริยา ซึ่งสภาวะที่ทำการศึกษาคือ อัตราส่วนโดยไมลของน้ำมันด่อเมทานอลปริมาณตัวเร่งปฏิกิริยาที่ใช้ อุณหภูมิ และเวลาในการทำปฏิกิริยา จากผลการศึกษาพบว่า ที่อัตราส่วนของน้ำมันด่อเมทานอลเท่ากับ 1: 6 ปริมาณตัวเร่งปฏิกิริยาเท่ากับ 0.3 กรัมในเมทานอล 25 มิลลิลิตร อุณหภูมิการทดลองเท่ากับ 75 องศาเซลเซียสเวลาในการทำปฏิกิริยาเท่ากับ 40 นาที ให้ร้อยละผลผลิตของใบโอดีเซลสูงที่สุดและใบโอดีเซลที่ได้มีคุณสมบัติทางเชื้อเพลิงใกล้เคียงกับน้ำมันดีเซลปกติ ซึ่งสามารถใช้แทนน้ำมันดีเซลจากปีโตรเลียมได้

สิงห์ทอง หล้าจันทึก และคณะ (2550: 1-7) พบว่า วิธีการผลิตที่มีผลต่อกระบวนการผลิตน้ำมันใบโอดีเซลจากน้ำมัน 6 ชนิด ได้แก่ น้ำมันถั่วเหลือง น้ำมันปาล์ม น้ำมันบัว น้ำมันรำข้าว น้ำมันข้าวโพด และน้ำมันใช้แล้ว โดยใช้ปฏิกิริยาทารานส์อสเทอริฟิเคชัน แบบ 1 ขั้นตอน โดยแบ่งการทดลองเป็น 3 ชุด ดังนี้

ชุดที่ 1) 1% NaOH 10% Methanol ของน้ำมันและเวลาในการทำปฏิกิริยา 30 นาที

ชุดที่ 2) 0.6%NaOH 20% Methanol ของน้ำมัน และเวลาในการทำปฏิกิริยา 120 นาที

ชุดที่ 3) 0.35%NaOH 20% Methanol ของน้ำมัน และเวลาในการทำปฏิกิริยา 120 นาที

จากผลการศึกษาพบว่า การผลิตใบโอดีเซลจากน้ำมันรำข้าว น้ำมันบัว น้ำมันข้าวโพด และน้ำมันที่ใช้แล้ว ควรใช้การผลิตด้วยการทดลองชุดที่ 2 ส่วนการผลิตใบโอดีเซลจากน้ำมันถั่วเหลือง และน้ำมันปาล์มนั้น ควรใช้การผลิตด้วย การทดลองชุดที่ 3

อภิญญา วัฒนา (2551: 26-27) พบว่า การผลิตใบโอดีเซลจากน้ำมันเมล็ดส้มโอ โดยเร่งปฏิกิริยาทารานส์เมล็ดเลชันด้วยไนโตรเจฟในสภาวะค่าคงที่ ศึกษาองค์ประกอบของกรดไขมัน โดยใช้เทคนิคแก๊สโคมาร์กอฟฟาราฟีและศึกษาความสามารถในการผลิตเป็นใบโอดีเซลของน้ำมันเมล็ดส้มโอผลการศึกษาพบว่า น้ำมันเมล็ดส้มโอประกอบด้วย กรดคาพริลิก กรดคาพริก กรดคลอริก กรดไขมันสัมฤทธิ์ กรดปาล์มิติก กรดปาล์มิโนเลอิก กรดสเตียริก กรดเลอิก กรดคลินเลอิก กรดอะราชิคิก กรดอีโคชาไดโนอิก กรดเบเนนิกและกรดลิกโนเซอริก น้ำมันมีน้ำหนักโมเลกุลเฉลี่ย 858.15 ศึกษาคุณสมบัติทางเชื้อเพลิง พบร่วมนิ่ค่าสปอนนิฟิเคชัน 194.88 ค่าไอโอดีน 96.70 ค่าซีเทน 52.55 และค่าความร้อนของการเผาไหม้ 39.95 MJ/Kg จากผลการศึกษาชี้ให้เห็นว่าน้ำมันเมล็ดส้มโอมีศักยภาพในการผลิตเป็นใบโอดีเซล

กาญจนा พงษ์ตระกูล และ มนตรี วงศ์ศรี (2550: 107-110) รายงานว่า การศึกษาผลของสารต้านออกซิเจนต่อสีบรากาฟเชิงออกซิเดทีฟของน้ำมันใบโอดีเซลจากน้ำมันปาล์มรีไฟน์น้ำมันปาล์มนิบดีและไขปัล์มนสตีบริน โดยใช้สารต้านต่อการเกิดปฏิกิริยาออกซิเดชันคือสารประเทกฟีโนลิกสารผสมของอะลิฟาคิเดอสเทอโร (ผลิตภัณฑ์ทางการค้า) สารผสมของฟีโนล (ผลิตภัณฑ์ทางการค้า) โดยใช้ปริมาณที่ 100, 250 และ 500 ppm ที่อุณหภูมิ 110, 150 และ 200 องศาเซลเซียส ด้วยเครื่องทดสอบ 743 รังสิแมท จากผลการการทดสอบพบว่าที่อุณหภูมิ 110 องศาเซลเซียสสารผสมของฟีโนลที่ 250 ppm ไขปัล์มนสตีบริน จะให้ค่าสีบรากาฟต่อการเกิดปฏิกิริยาออกซิเดชัน (Reduction time) สูงสุดคือ 41.06 ชั่วโมงสำหรับน้ำมันปาล์มนิบดี และน้ำมันปาล์มรีไฟน์จะให้ค่าสีบรากาฟต่อการเกิดปฏิกิริยาออกซิเดชันที่ 20.76 และ 20.63 ชั่วโมงตามลำดับ และเมื่อทำการ

ทดสอบคุณสมบัติทางเชื้อเพลิงต่าง ๆ ของน้ำมันปาล์มที่เติมสารต้านออกซิเดชันเข่นก้าวตามเป็นกรดออกถ่าน ไอโอดีนความหนืดปริมาณน้ำจุควาบไฟโนกเลเซอร์ไฮด์โรกเลเซอร์ไฮด์โรกเลเซอร์ไฮด์โรกเลเซอร์รีนอิสระกลีเซอร์รีนทั้งหมด โดยทดสอบตามมาตรฐาน ASTM และ EN พบว่ามีคุณสมบัติเป็นไปตามมาตรฐานของใบโอดีเซล

Yung Chee Liang et al. (2009: 867-870) รายงานว่า การศึกษาผลของสารต้านออกซิเดชันของน้ำมันใบโอดีเซลจากน้ำมันปาล์มคิด(ไม่เติมสารต้านออกซิเดชัน)เทียบกับน้ำมันปาล์มกลั่นบริสุทธิ์ (เติมสารต้านออกซิเดชัน)ซึ่งสารต้านออกซิเดชันที่ใช้คือ BHT (Butylatedhydroxytoluene) และTBHQ (Tetra- butylhydroquinone) โดยใช้ปริมาณที่ 50, 250, 500 และ 1000 ppm ที่อุณหภูมิ 110 องศาเซลเซียสด้วยเครื่องทดสอบ 743 รังสิแมท จากผลการทดสอบพบว่า BHT 250, 500 และ 1000 ppm ให้ค่าเสถียรภาพต่อการเกิดปฏิกิริยาออกซิเดชันที่ 6.18, 7013.10 และ 16.60 ชั่วโมง ตามลำดับ สำหรับ TBHQ จะให้ค่าเสถียรภาพต่อการเกิดปฏิกิริยาออกซิเดชันที่ 8.85, 130.20 และ 48.00 ชั่วโมงตามลำดับ

## อุปกรณ์และวิธีการ

### สารเคมี

ชื่อสารเคมี	บริษัทผู้ผลิต	ประเทศ
1. Acetic acid ( $\text{CH}_3\text{COOH}$ )	Lab Scan Asia	Thailand
2. 1, 4-Cyclohexanedione	Sigma-Aldrich	Germany
3. 3, 4- Dihydroxybenzaldehyde	Sigma-Aldrich	Germany
4. Ethanol ( $\text{CH}_3\text{CH}_2\text{OH}$ )	J.T.Baker	USA.
5. Ethyl acetate ( $\text{C}_4\text{H}_8\text{O}_2$ )	Analytical Univar A.R	Australia
6. Hexane ( $\text{C}_6\text{H}_{14}$ )	Lab Scan Asia	Thailand
7. Hydrochloric acid (HCl)	Analytical Reagent A.R	Thailand
8. Iodine monochloride (ICl)	Panreac Sintesis	E.U.
9. Lithium chloride (LiCl)	Ajax fine chemical	Australia
10. Methanol ( $\text{CH}_3\text{OH}$ )	Lab Scan Asia	Thailand
11. Pyridine ( $\text{C}_5\text{H}_5\text{N}$ )	Ajax fine chemical	Australia
12. Silica gel GF <sub>254</sub>	Merck	Germany
13. Sodium chloride (NaCl)	Merck	Germany
14. Sodium hydroxide (NaOH)	Merck	Germany
15. Sodium sulphate ( $\text{Na}_2\text{SO}_4$ )	Ajax fine chemical	Australia
16. สารมาครูานกรดไขมัน (C16-22)	Sigma-Aldrich	Germany

## เครื่องมือและอุปกรณ์

เครื่องมือและอุปกรณ์	บริษัทผู้ผลิตและรุ่น	ประเทศ
1. Analytical Balance	Mettler Toledo รุ่น AB304 – S	Switzerland
2. Fourier Transform Infrared Spectrometer	Perkin Elmer	USA.
3. Gas Chromatography	Aeilent Technologies รุ่น 7890A	USA.
4. Nuclear Magnetic Resonance Spectrometer	Bruker AMX	Australia
5. Rancimat	Metrohm 743	Switzerland
6. Rotary Evaporator	Butaehi รุ่น B-480	Switzerland
7. UV – Spectrophotometer	CA91786	USA.

## วิธีการทดลอง

### การสังเคราะห์ 2-(3,4-Dihydroxybenzyl) hydroquinone

นำ 1,4- Cyclohexane dione 0.01 mol, 3, 4- Dihydroxy benzaldehyde 0.01 mol และ Lithium chloride 0.01 mol และ Pyridine ปริมาตร 20 ml ลงในขวดก้นกลมขนาดนำ้าไปทำปฏิกิริยาในชุดรีฟลักซ์โดยให้ความร้อนที่ 80 °C เป็นเวลา 8 ชั่วโมง

### การสกัดสารสังเคราะห์

นำสารที่สังเคราะห์ได้ไปสกัดด้วย Ethyl acetate ปริมาตร 20 ml กับ 10 % HCl ปริมาตร 10 ml เข่าประมาณ 10 นาทีและปล่อยให้สารแยกชั้นกันดี หลังจากนั้นสกัดต่อด้วย NaCl อิ่มตัว ปริมาตร 10 ml นำสารที่สกัดได้มากำจัดน้ำ โดยใช้  $\text{NaSO}_4$  (anhydrous) หลังจากนั้นระเหบด้วย เครื่องระเหบความดันไอ์ต์

### การแยกสารให้บรรลุที่ด้วยเทคนิค柱ลัมน์ไฮดรอกราฟี (column chromatography)

ใช้เฟสเคลื่อนที่ Ethyl acetate : Hexane ที่อัตราส่วน 10:90 จนหมด คือหากสารลงมาแล้ว เพิ่มขึ้นของเฟสคงที่ขึ้นเรื่อยๆ โดยเปลี่ยนอัตราส่วนของ Ethyl acetate : Hexane เป็น 20:80, 30:70, 40:60, 50:50, 60:40, 70:30, 80:20, 90:10, 100:0 หรือหดเพิ่มขึ้นเมื่อสารแยกออกจาก柱ลัมน์หมดแล้ว และทดสอบหาชนิดของสารสังเคราะห์ที่แยกออกจาก柱ลัมน์ด้วยเทคนิค TLC โดยใช้ Ethyl acetate: Hexane ที่อัตราส่วน 1:9 เป็นเฟสเคลื่อนที่

### การวิเคราะห์สารโดยเทคนิค Fourier transform infrared Spectroscopy

นำสารสังเคราะห์อนุพันธ์ไฮโดรควิโนนที่บีบริสุทธิ์มาเตรียมโดยใช้วิชี KBr disc และนำไปทดสอบด้วย เครื่อง Fourier transform Infrared spectrometer

### การวิเคราะห์โดยเทคนิค $^1\text{H}$ Nuclear magnetic resonance spectroscopy

2.3.5.1 นำสารสังเคราะห์อนุพันธ์ไฮโดรควิโนนที่บีบริสุทธิ์ ประมาณ 30 มิลลิกรัมใส่หลอด NMR tube โดยใช้ตัวทำละลาย คือ  $\text{CDCl}_3$  ละลายจนเป็นเนื้อเดียว แล้วนำไปทดสอบด้วย เครื่อง Nuclear magnetic resonance spectrometer

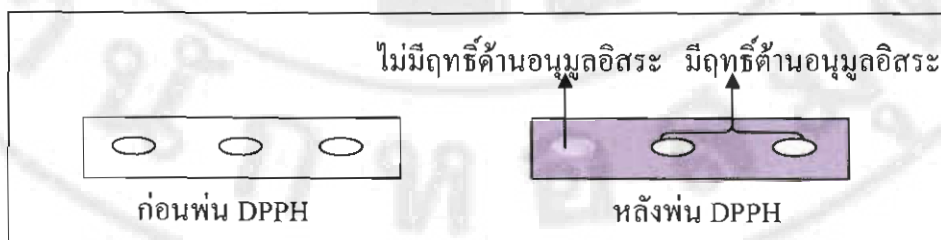
### การทดสอบความสามารถในการด้านอนุมูลอิสระด้วยเทคนิค DPPH radical scavenging assay

เตรียมสารละลายของ 2,2 – Diphenyl -1-picryhydrazyl (DPPH) ในเมทานอลโดยชั่ง DPPH ปริมาณ 11.80 มิลลิกรัม ละลายในเมทานอลแล้วปรับปริมาณในขวดปริมาณให้เป็น 100.00 ml และป้องกันสารที่เตรียมเสร็จแล้วไม่ให้โดนอากาศและแสง

จุด (spot) สารที่สนใจทดสอบลงบนแผ่น TLC

พ่นสารละลาย DPPH ซึ่งเป็นสารสีม่วงเข้มลงบนแผ่น TLC ที่เตรียมไว้ให้ทั่วถึงพยาบาล พนให้เป็นละอองเล็ก ๆ และระวังอย่าให้แฉะ TLC เปียกโซกจนเกินไป

สังเกตผลที่เกิดขึ้นบนแผ่น TLC หากสารใดมีฤทธิ์ด้านในการด้านอนุมูลอิสระจะเกิดการฟอกขาวสีของ DPPH บนแผ่น TLC เนื่องจากสารที่มีฤทธิ์ด้านอนุมูลอิสระจะทำปฏิกิริยากับ DPPH radical ทำให้สีม่วงของ DPPH หายไป และความคงเหลือของสารนั้นเป็นสีเดิม (สีก่อนพ่น DPPH ลงไป) ดังภาพที่ 8



ภาพที่ 8 ลักษณะของแผ่น TLC ก่อนและหลังการพ่น DPPH

### ทดสอบความสามารถในการต้านอนุมูลอิสระด้วยเทคนิค Spectrophotometric assay

-นำสารสังเคราะห์ไฮโครคิวโนน 1.00 mg ละลายน้ำมานอลปริมาตร 4 ml

ทำการเจือจางสารตัวอย่างให้มีความเข้มข้นเป็น 0.125000, 0.062500, 0.031250, 0.015625 และ 0.007813 mg/ml

- เดินสารตัวอย่างที่เตรียมไว้ในข้อ 3.7.2 ลงในไนโตรเพลท ปริมาตร 50 μl โดยทำตัวอย่างละ 3 ช้อน

-เดินสารละลายน้ำ DPPH ปริมาตร 200 μl ใส่ในไนโตรเพลทที่เดินสารตัวอย่างไว้

-วางไว้ในที่มีค่า อุณหภูมิห้องเป็นเวลา 30 นาที

-นำไปวัดค่าการดูดกลืนแสงที่ความยาวคลื่น 517 นาโนเมตร โดยใช้มานาลเป็นสารมาตรฐานควบคุม

### การกำจัดกรดไขมันอิสระในน้ำมันที่ใช้แล้ว

นำน้ำมันพืชที่ใช้แล้วมากรอง และตั้งทึงไว้ให้ถูกตะกอน หลังจากนั้นต้มน้ำมันจนอุณหภูมิ 60 องศาเซลเซียส และเติมน้ำลงไประอยละ 20 ของน้ำมัน คนสม่ำเสมอจนถึงอุณหภูมิ 95 องศาเซลเซียส ตั้งทึงไว้ 1 วัน จะเกิดการแยกตัว 2 ชั้นคือ ชั้นของน้ำมันและน้ำ นำชั้นของน้ำมันมาใช้ในขั้นตอนต่อไป (ข้อ 3.9)

### การเตรียมเมทิโอลอสเทอร์ (ใบโอดิเซล) จากน้ำมันที่ใช้ในการทดลอง

-นำน้ำมันพืชที่ใช้แล้ว และผ่านการกำจัดกรดไขมันอิสระแล้ว ปริมาณ 70 กรัม ลงในขวดก้นกลม

-เติมเมทอกไซด์ (มานาลอลร้อยละ 2 โดยน้ำหนักของปริมาณน้ำมัน ผสมกับโซเดียมไฮดรอกไซด์ ร้อยละ 0.6 โดยน้ำหนักของปริมาณน้ำมัน)

-นำไปทำปฏิกิริยาในชุดรีฟลักซ์โดยให้ความร้อนที่ 70-75 °C ใน oil bath และคนสารตลอด การทำปฏิกิริยาเป็นเวลา 2 ชั่วโมง และนำสารที่ได้ไปแยกตัวบกรวยแยก

-ทำการล้างใบโอดิเซลด้วยน้ำอุ่นที่อุณหภูมิ 60°C จนสารละลายน้ำได้เป็นกลาง หลังจากนั้นซึ่งน้ำหนักสารละลายน้ำที่ได้ และนำมาคำนวณหาร้อยละผลผลิตที่ได้เทียบกับน้ำมันที่ใช้เริ่มต้น

-ทำการเตรียมใบโอดิเซลจากน้ำมันปาล์ม น้ำมันมะพร้าว และน้ำมันถั่วเหลือง โดยโดยวิธีการเดียวกัน

## การวิเคราะห์เมทิลเอสเทอร์ (ใบโอดีเซล) ด้วยเทคนิคโปรแกรม气温分层色谱 (Thin layer chromatography; TLC)

- หลังจากที่เตรียมเมทิลเอสเทอร์จากน้ำมันที่ใช้แล้ว น้ำมันปาล์ม น้ำมันงา และน้ำมันถั่วเหลือง แล้วต้องนำมาทดสอบคุณสมบัติความเป็นใบโอดีเซล โดยเทียบกับสารตัวต้น (น้ำมันก่อนทำปฏิกิริยา) และสารมาตรฐานเมทิลเอสเทอร์ (C16:0; สารมาตรฐานทางการค้า)

- หยดน้ำมันด้วยย่างและกรดไขมันเมทิลเอสเทอร์ที่ต้องการวิเคราะห์ลงบนจุดเริ่มต้นบนแผ่น TLC ทึ้งไว้ให้แห้ง

- จุ่มลงในสารละลายน้ำของ เอทานอล 90 มิลลิลิตร เอทิลอะซีเตต 10 มิลลิลิตรและกรดชัลฟิวริก 1 มิลลิลิตร ทึ้งไว้จนสารละลายน้ำเคลื่อนที่ผ่านจุดเริ่มต้นของด้วยย่างมากถึงขีดสิ้นสุดบนแผ่น TLC ทึ้งไว้สักครู่เพื่อให้แห้ง TLC แห้ง หลังจากนั้นนำแผ่น TLC ไปอังไอย่องเกล็ดไอโอดีนในสภาวะอุ่นด้วยเกิดเป็นแถบของสารปรากฏขึ้น

## การวิเคราะห์เมทิลเอสเทอร์ (ใบโอดีเซล) ด้วยเทคนิคแก๊สโปรแกรม气温分层色谱 (GC)

หลังจากทดสอบเมทิลเอสเทอร์ (ใบโอดีเซล) ด้วยเทคนิค TLC แล้วพบว่ามีคุณสมบัติเป็นใบโอดีเซล จึงนำมาวิเคราะห์ด้วยแก๊สโปรแกรม气温分层色谱 เพื่อตรวจสอบคุณสมบัติทางเชื้อเพลิงของใบโอดีเซล โดยใช้คอลัมน์ HP-5 (5% Phenyl Methyl Siloxane) และใช้ด้วยวัดแบบเฟลมไอออยไซเซชัน (FID)

### สภาวะที่ใช้ในการทดลอง

แก๊สตัวพา (carrier gas)	: แก๊สไนโตรเจน
ความดันแก๊ส	: แก๊สไนโตรเจน 75 KPa
	: แก๊สไนโตรเจน 60 KPa
	: แก๊สออกซิเจน 5 KPa
อุณหภูมิ	: อินเจกเตอร์ (injector port) $300^{\circ}\text{C}$
	: เครื่องตรวจวัด (detector) $300^{\circ}\text{C}$
	: เคอาบ (oven) แบบสภาวะโปรแกรมอุณหภูมิ (temperature program) ตั้งแต่ $150 - 300^{\circ}\text{C}$

ปริมาณสารด้วยย่างที่ฉีดเข้าไป : 1.3 ไมโครลิตร

: split 100:1

### **การคำนวณผลจากการวิเคราะห์ด้วยแก๊สโกร์นาโทรกราฟี**

-วิเคราะห์สัดส่วนกรดไขมันที่เป็นองค์ประกอบ (% FA)

-วิเคราะห์ชนิดของกรดไขมัน ซึ่งหาได้จากการเบริบเทียบกับสารมาตรฐาน โดยเวลาในการแยกสาร โดย คำนวณค่าสปอนนิฟิเคชัน (SN) ได้จากการคำนวณค่าสัดส่วนของกรดไขมันที่เป็นองค์ประกอบ คำนวณค่าไอโอดีน (IV) เป็นค่าบ่งชี้ของระดับความไม่อ่อนตัวเฉลี่ยของไขมันซึ่งสามารถหาได้จากจำนวนพันธะคู่ที่วิเคราะห์ได้ในโมเลกุลและสัดส่วนของกรดไขมัน อิสระ คำนวณค่าเซตีน (Cetane number) และค่าความร้อนของการเผาไหม้ (Heat combustion) ได้จากค่าสปอนนิฟิเคชันและค่าไอโอดีน

### **การเติมสารด้านอนุมูลอิสระในไบโอดีเซลจากน้ำมันปาล์มและน้ำมันใช้แล้ว**

หลังจากที่ทดสอบเมทิลเอสเทอร์ที่สังเคราะห์ได้ ด้วยเทคนิค TLC และวิเคราะห์ด้วยแก๊สโกร์นาโทรกราฟีนั้น ด้องพบว่า เมทิลเอสเทอร์ที่สังเคราะห์ได้แสดงคุณสมบัติเป็นไบโอดีเซล และมีคุณสมบัติทางเชื้อเพลิงเป็นไปตามมาตรฐานของไบโอดีเซล จึงจะสามารถเติมสารด้านอนุมูลอิสระได้ ซึ่งมีขั้นตอนดังนี้

-เตรียมไบโอดีเซลจากน้ำมันทั้ง 4 ชนิด อย่างละ 45 ml

-ชั่ง 2-(3,4-Dihydroxybenzyl) hydroquinone 0.0125 กรัม จากนั้นละลายด้วย Ethanol 2 ml และ Hexane 3 ml

-เติมลงในไบโอดีเซลที่เตรียมไว้ ซึ่งจะได้ความเข้มข้น 250 ppm

-นำไปทดสอบค่าเสถียรภาพในการเก็บปฏิกิริยาออกซิเดชันของไบโอดีเซลด้วยเครื่อง

Rancimat

### **การหาค่าของกรดและปริมาณกรดไขมันอิสระจากการไฟเกรต**

#### **สารละลายน้ำและวิธีเตรียม**

-เตรียมสารละลายน้ำตามมาตรฐาน โพแทสเซียมไฮดรอกไซด์ในน้ำกลั่น ความเข้มข้น 0.1 นอร์มัล โดยชั่ง โพแทสเซียมไฮดรอกไซด์ 5.61 กรัม ละลายด้วยน้ำกลั่น 1 ลิตร

-สารผสมโพราฟานอลกับโซเดียมไฮดรอกไซด์ 1 ต่อ 1 โดยปริมาตร และทำให้เป็นกากองต่อพินอัลฟ์ฟายลีนด้วยสารละลายน้ำตามมาตรฐาน โพแทสเซียมไฮดรอกไซด์

-สารละลายน้ำฟายลีโนนิคเคนตอร์ โดยละลายน้ำฟินอัลฟายลีน 1 กรัม ในโพราฟานอล ทำให้เป็น 100 มิลลิลิตร

### วิธีการหั่น

- ชั้งน้ำมัน 2.50 กรัม ลงในภาชนะปูมพู่

- เติมสารผสมโพราพาโนลกับโกลูอิน ปริมาณ 125 ml โดยใช้ระบบอุ่น ให้ยาให้เข้าสู่น้ำมันละลายน้ำได้ด้วยการร้อนในกรณีที่น้ำมันไม่ละลายในสารละลายน้ำ

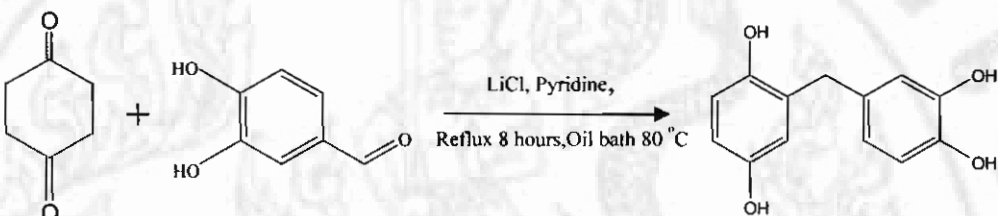
- เติมสารละลายน้ำฟินอลฟ์ทาเลินอินดิกเตอร์ ปริมาณ 2 มิลลิลิตร

- ให้เกรตด้วยสารละลายน้ำมาตรฐานโพแทสเซียมไฮดรอกไซด์ จนสารละลายน้ำเปลี่ยนเป็นสีชมพูอ่อนและคงด้วย 30 วินาที จากนั้นบันทึกปริมาตรของสารละลายน้ำมาตรฐานโพแทสเซียมไฮดรอกไซด์ที่ใช้

## ผลการวิจัย และวิจารณ์ผลการวิจัย

### การสังเคราะห์สารอนุพันธ์ไอโอดิวิโนน

จากการสังเคราะห์ 2-(3,4-Dihydroxybenzyl) hydroquinone โดยใช้ปฏิกิริยาการควบแน่นแบบอัดดอกระหว่างสาร 1,4-Cyclohexanedione 0.01 mol กับ 3,4-Dihydroxybenzaldehyde 0.01 mol โดยมี Lithium chloride 0.01 mol เป็นสารตัวเร่งปฏิกิริยาในตัวทำละลายไพริดิน ดังภาพที่ 9 กลไกการเกิดปฏิกิริยาแสดงดังภาพที่ 10 และผลการสังเคราะห์แสดงดังตารางที่ 2



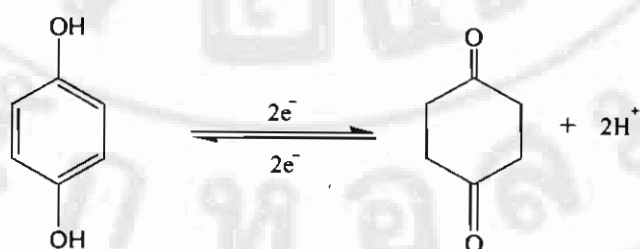
1,4-Cyclohexanedione + 3,4-Dihydroxybenzaldehyde → 2-(3,4-Dihydroxybenzyl) hydroquinone

ภาพที่ 9 ปฏิกิริยาการสังเคราะห์ 2-(3,4-Dihydroxybenzyl) hydroquinone โดยใช้ปฏิกิริยา  
การควบแน่นแบบอัดดอล

ปฏิกิริยาการควบแน่นแบบอัดดอลสามารถเขียนกลไกการเกิดปฏิกิริยาดังนี้

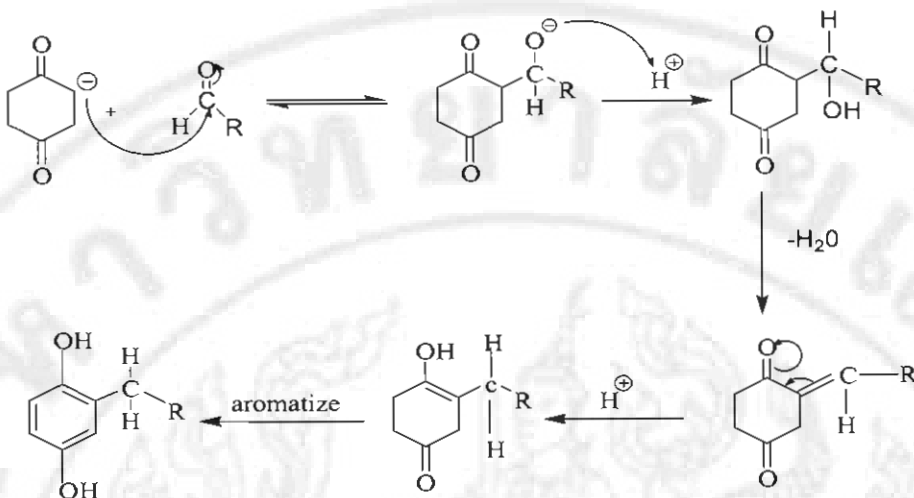
ขั้นที่ 1

โมเลกุลของสาร ไอโอดิวิโนนหรือ 1,4-Cyclohexane เกิดปฏิกิริข้อออกซิเดชันขึ้นเอง



1,4-Cyclohexane → 1,4-Cyclohexanedione

ขั้นที่ 2 โมเลกุลของ ไอโอดิวิโนนอยู่ในสภาพะสูญเสีย ประตอนทำให้อยู่ในภาวะที่เป็นสาร์แบบ ไอօนและเข้าทำปฏิกิริยากับ โมเลกุลของอัลดีไฮด์ ตrong ตำแหน่ง -C- ในหมู่ค่าร์บอนิล ของ โมเลกุล สารอนุพันธ์อัลดีไฮด์



ภาพที่ 10 กลไกการเกิดปฏิกิริยาขั้ลดผลิตภัณฑ์

ตารางที่ 2 ผลการสังเคราะห์ 2-(3,4-Dihydroxybenzyl) hydroquinone โดยใช้ปฏิกิริยาการควบแน่นแบบขั้ลดผล

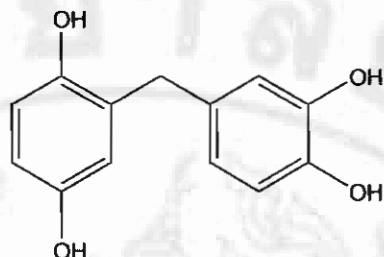
ชื่อสาร	ลักษณะผลึกและสี	melting point (°C)	% yield
2-(3,4-Dihydroxybenzyl) hydroquinone	สีม่วงน้ำตาล	165-170	46.44

ผลการศึกษาเอกลักษณ์ของ 2-(3,4-Dihydroxybenzyl) hydroquinone ด้วยเทคนิค

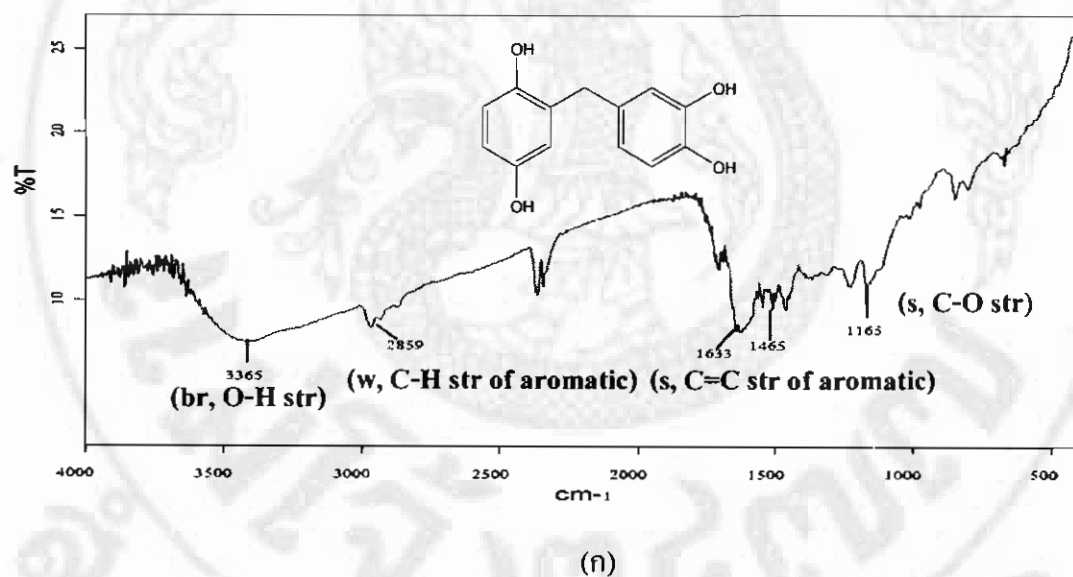
Furrier transform infrared spectroscopy และเทคนิค  $^1\text{H-NMR}$

จากการนำ 2-(3,4-Dihydroxybenzyl) hydroquinone มาวิเคราะห์เพื่อพิสูจน์เอกลักษณ์เฉพาะด้วยเทคนิค Furrier transform infrared spectroscopy พบรูปสเปกตรัมที่เด่นชัด คือ สเปกตรัมของ หมู่ไฮดรอกซี(-OH) ดังภาพที่ 12 (ก) และจากการวิเคราะห์เพื่อพิสูจน์เอกลักษณ์เฉพาะด้วยเทคนิค  $^1\text{H-NMR}$  พบรูปข้อมูลที่ได้จากการวิเคราะห์ด้วยเทคนิคนี้ทำให้สามารถทราบคำแนะนำที่แน่นอน ของสารองค์ประกอบและหมู่แทนที่ในโมเลกุล เมื่อวิเคราะห์สัญญาณที่ปรากฏแล้วพบว่า โมเลกุล

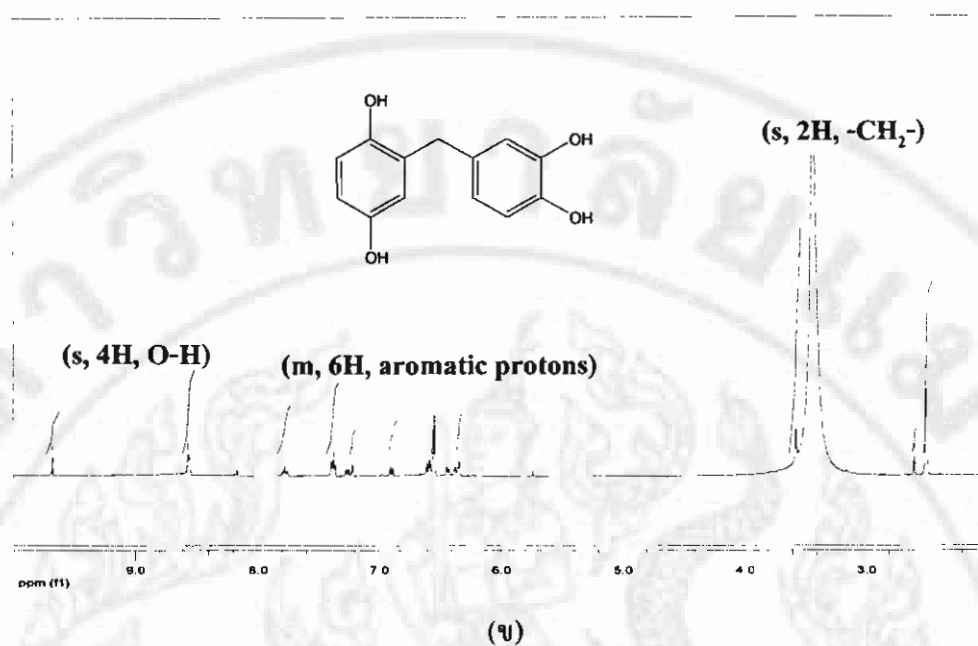
ของ 2-(3,4-Dihydroxybenzyl) hydroquinone ประกอบไปด้วยของ โรมาติก 2 วง เชื่อมคู่กันด้วย พันธะคาร์บอน และจะมีเอกลักษณ์ตามหมู่แทนที่ของวงของ โรมาติกที่ 2 ดังภาพที่ 11



ภาพที่ 11 ลักษณะโครงสร้างของ 2-(3,4-Dihydroxybenzyl) hydroquinone



(ก)



ภาพที่ 12 สเปคตรัมของสารตั้งเคราะห์ 2-(3,4-dihydroxybenzyl) hydroquinone

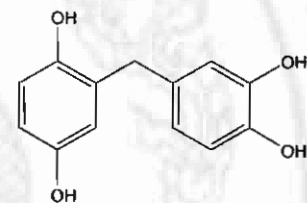
(ก) Fourier transform infrared spectroscopy

(ข)  $^1\text{H-NMR}$

จากสัญญาณスペคตรัม Fourier transform infrared spectroscopy พบน้ำเส้นที่สำคัญคือ FT-IR (KBr,  $\text{cm}^{-1}$ ): 3365 (br, O-H str), 2859 (w, C-H str of aromatic), 1465, 1633 (s, C=C str of aromatic) และ 1165 (s, C-O str) ซึ่งสัญญาณที่พบดังกล่าว มีหนูไฟชันเป็นไปตามโครงสร้างของ 2-(3,4-Dihydroxybenzyl) hydroquinone เมื่อนำมาเปรียบเทียบกับสัญญาณスペคตรัมของสารตั้งต้น แสดงดังภาพผนวก ก (รูป ก.1) พบว่า สัญญาณที่แสดงออกลักษณะหนูไฟชันก์ (-CHO) ของสารตั้งต้น ที่ประมาณ 1760-1670 (s, aldehyde stretch) หากไปจากสเปคตรัมของสารผลิตภัณฑ์ และเมื่อพิจารณาสเปคตรัม  $^1\text{H-NMR}$  พบน้ำเส้นที่สำคัญคือ  $^1\text{H-NMR}$  (400MHz, DMSO- $d_6$ )  $\delta$  (ppm) : 8.56, 9.68 (s, 4H, O-H), 6.34-7.72 (m, 6H, aromatic protons), และ 3.57 (s, 2H, -CH<sub>2</sub>-) สรุปและวิเคราะห์ลักษณะโครงสร้างของสารได้ดังตารางที่ 3

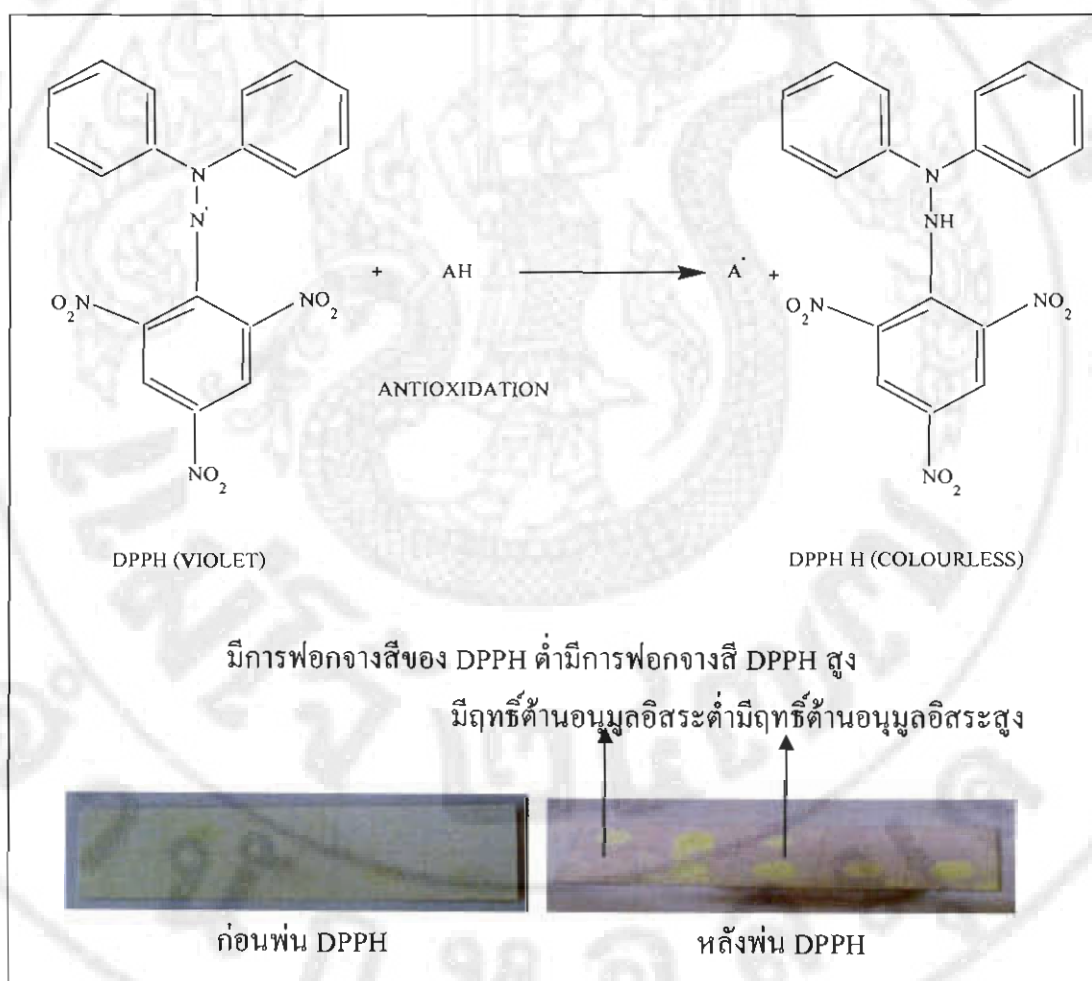
ตารางที่ 3 ตัวอย่างจากการวิเคราะห์ผลิตภัณฑ์ที่ได้โดยใช้เทคนิค Fourier transform Infrared spectroscopy และ  $^1\text{H}$ -NMR spectroscopy โดยแสดงลักษณะทางโครงสร้างของ 2-(3,4-Dihydroxybenzyl) hydroquinone

Flourier transform infrared spectrometry	$^1\text{H}$ Nuclear magnetic resonance spectroscopy	โครงสร้างของ 2-(3,4-Dihydroxybenzyl) hydroquinone	
$\nu_{\text{max}}$ (cm $^{-1}$ )	หมู่พังก์ชัน	$\delta$ (ppm)	หมู่พังก์ชัน
3365	(br, O-H str)	8.56, 9.68	(s, 4H, O-H)
2859	(w, C-H str of aromatic)	6.34-7.72	(m, 6H, aromatic protons)
1465, 1633	(s, C=C str of aromatic)	3.57	(s, 2H, -CH $_2$ -)
1165	(s, C-O str)	-	-



การวิเคราะห์การต้านอนุมูลอิสระโดยวิธี DPPH radical scavenging assay (น้ำพร, 2553)

จากการทดสอบฤทธิ์การด้านปฏิกิริยาออกซิเดชันเชิงคุณภาพเบื้องต้นของสารสังเคราะห์อนุพันธ์ไฮโดรควีโนน โดยวิธี DPPH radical scavenging assay โดยการเทียบเวลาที่สารสามารถฟอกงานสีของ DPPH จากสีม่วงไปเป็นสีเหลืองอ่อนได้ พบว่าสารสังเคราะห์ 2-(3,4-Dihydroxybenzyl) hydroquinone สามารถฟอกงานสีได้ทันทีทำการพ่นสาร DPPH ลงบนแผ่น TLC เมื่อเปรียบเทียบกับสารมาตรฐาน Butyrate hydroxyl toluene (BHT) และคงปฏิกิริยาและลักษณะการฟอกงานสีของ DPPH ดังภาพที่ 13 และผลการฟอกจากสีของ DPPH เสียงดัง ตารางที่ 4



**ภาพที่ 13 ปฏิกริยาด้านอนุญาติสระของสารกับ DPPH และลักษณะการฟอกจากสาร DPPH ของสารสังเคราะห์อนุพันธ์ไฮโดรควิโนน**

ตารางที่ 4 ผลการวิเคราะห์ฤทธิ์การต้านปฎิกิริยาออกซิเดชันโดยวิธี DPPH radical scavenging assay

ชื่อสารผลิตภัณฑ์	การฟอกของสี
2-(3,4-Dihydroxybenzyl) hydroquinone	++
Butyrate hydroxyl toluene (BHT)	+

หมายเหตุ: (++) ฟอกของสี 0-1 นาที, (+) เริ่มฟอกของสีเริ่มจาก 1-5 นาที, (-) ไม่เกิดการฟอกของสี

สำหรับผลการวิเคราะห์ฤทธิ์การต้านปฎิกิริยาออกซิเดชันเชิงคุณภาพ พบว่า สารสังเคราะห์ 2-(3,4-Dihydroxybenzyl) hydroquinone มีประสิทธิภาพในการต้านปฎิกิริยาออกซิเดชันสูง โดยแสดงการฟอกของสีของ DPPH ได้ทันทีในขณะที่ BHT สามารถฟอกของสีของ DPPH ได้มีเมื่อเวลาผ่านไป 1 นาที

ผลการวิเคราะห์ฤทธิ์การต้านปฎิกิริยาออกซิเดชันโดยวิธี Spectrophotometric assay (ณัฐพร, 2553)

เมื่อทดสอบฤทธิ์การต้านปฎิกิริยาออกซิเดชันของ 2-(3,4-Dihydroxybenzyl)hydroquinone เป็นดังด้านด้วยเทคนิค DPPH scavenging assay พบว่า 2-(3,4-Dihydroxybenzyl)hydroquinone แสดงฤทธิ์ในการต้านอนุมูลอิสระ หลังจากนั้นนำสารสังเคราะห์มาทดสอบฤทธิ์การต้านปฎิกิริยาออกซิเดชันเชิงปริมาณด้วยเทคนิค Spectrophotometric assay ซึ่งเป็นเทคนิคการวัดค่าการดูดกลืนแสงของสารที่ความยาวคลื่น 517 nm ด้วยเครื่อง UV-VIS spectrophotometer เพื่อนำข้อมูลค่าการดูดกลืนแสงของสารมาคำนวณหา % inhibition จากสมการ 1

$$\% \text{ inhibition} = 100 \times \left( 1 - \left( \frac{\text{Absorbance of sample}}{\text{Absorbance of control}} \right) \right) \quad (1)$$

หลังจากนั้นนำข้อมูลค่า % inhibition มาสร้างกราฟแสดงความสัมพันธ์ระหว่าง % DPPH inhibition กับความเข้มข้นของสารตัวอย่าง เพื่อนำไปเป็นข้อมูลในการคำนวณค่า IC<sub>50</sub> ของสารจากสมการ 2

$$y = ax^2 + bx + c = 0 \quad (2)$$

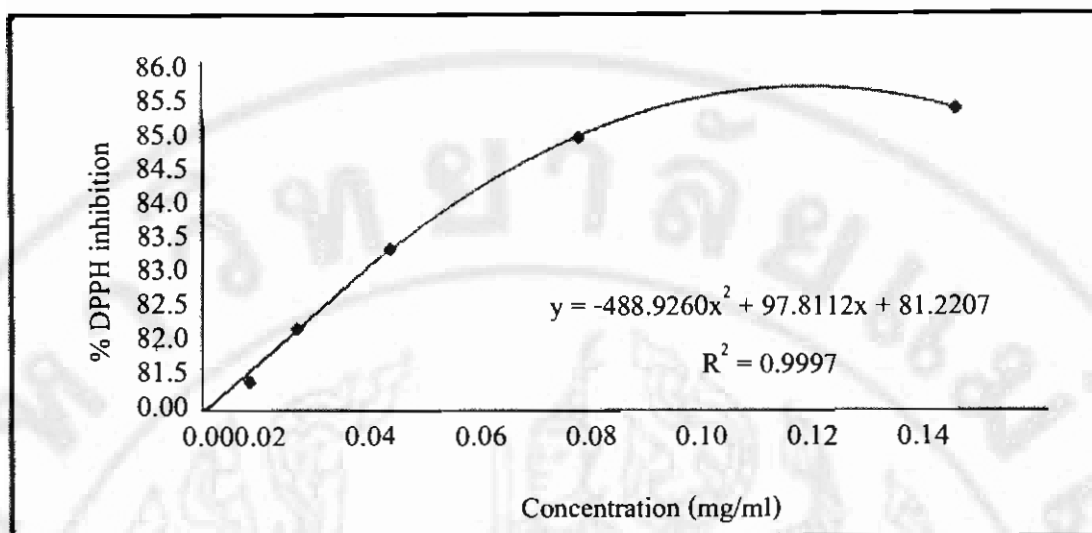
โดย y คือ เปอร์เซ็นต์บั้งข่องนูลอิสระที่ 50 เปอร์เซ็นต์ (% inhibition)

ผลการทดสอบฤทธิ์การต้านปฏิกิริยาออกซิเดชันเชิงปริมาณด้วยเทคนิค Spectrophotometric assay ของสารสังเคราะห์ 2-(3,4-Dihydroxybenzyl)hydroquinone เป็นดังนี้

ผลการวิเคราะห์ฤทธิ์การต้านปฏิกิริยาออกซิเดชันโดยวิธี Spectrophotometric assay ของสารมาตรฐาน BHT

ตารางที่ 5 ค่าการคูณกลึ่นแสงที่ความยาวคลื่น 517 nm และค่า % inhibition ของสารมาตรฐาน BHT โดยวิธี Spectrophotometric assay

ความเข้มข้นของสารมาตรฐาน BHT	0.125	0.063	0.031	0.016	0.008	0.000
ครั้งที่	Absorbance (517 nm)					
1	0.243	0.251	0.278	0.297	0.310	1.789
2	0.244	0.250	0.279	0.299	0.312	1.750
3	0.245	0.252	0.278	0.298	0.311	1.620
Average	0.244	0.251	0.278	0.298	0.311	1.720
% inhibition	85.811	85.404	83.815	82.671	81.425	0.000



ภาพที่ 14 กราฟความสัมพันธ์ระหว่าง % DPPH inhibition กับสารมาตรฐานBHT ที่

ความเข้มข้นต่างๆ

การคำนวณค่า  $IC_{50}$  จากกราฟแสดงความสัมพันธ์ระหว่าง % DPPH inhibition กับความเข้มข้นของสารมาตรฐานBHT

จากสมการ  $y = ax^2 + bx + c$

จากรูป  $y = -488.9260x^2 + 97.8112x + 81.2207$

โดยy คือ เปอร์เซ็นต์ขั้นบนอนุญาติสระที่ 50 เปอร์เซ็นต์

ดังนั้น สมการที่ได้คือ  $50 = -488.9260x^2 + 97.8112x + 81.2207$

จะได้  $0 = -488.9260x^2 + 97.8112x + 31.2207$

y จึงเท่ากับ  $-488.9260x^2 + 97.8112x + 31.2207 = 0$

เมื่อหาค่า  $y = ax^2 + bx + c$

x คือ ค่า  $IC_{50}$  หน่วย mg/ml

แทนค่า  $a = -488.9260$ ,  $b = 97.8112$ ,  $c = 31.2207$

$$\text{จากสมการ } x = \frac{-b \pm \sqrt{b^2 - 4ac}}{2a}$$

แทนค่าในสมการ

$$x = -97.8112 \pm \frac{\sqrt{(97.8112)^2 - 4(-488.9260)(31.2207)}}{2(-488.9260)}$$

$$x = -97.8112 \pm \frac{\sqrt{9567.030845 + 61058.4479}}{-977.852}$$

กรณีที่ ± เป็นบวก (+)

$$x = \frac{-97.8112 + \sqrt{70625.47875}}{-977.852}$$

$$x = \frac{-97.8112 + 265.754546}{-977.852}$$

$$x = \frac{167.943346}{-977.852}$$

$$x = -0.171747203 \approx -0.17$$

กรณีที่ ± เป็นลบ (-) จะได้

$$x = \frac{-97.8112 - \sqrt{70625.47875}}{-977.852}$$

$$x = \frac{-97.8112 - 265.754546}{-977.852}$$

$$x = \frac{-363.35666}{-977.852}$$

$$x = 0.371586559 \approx 0.37$$

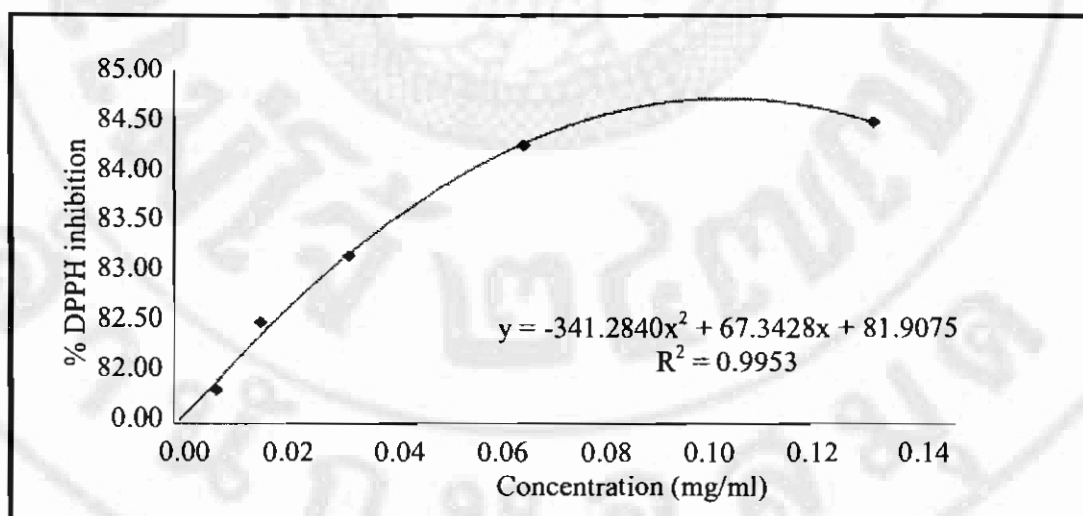
ผลการคำนวณจากสมการ  $y = ax^2 + bx + c = 0$  ได้ค่า  $x = -0.17$  และ  $0.37$  ในการนำค่าไปใช้จะเดือดใช้กรณี ± เป็นบวก (+) ดังนั้นสารมารถฐาน BHT มีค่า  $IC_{50} = 0.37$

ผลการวิเคราะห์ฤทธิ์การต้านปฎิกริยาออกซิเดชันโดยวิธี Spectrophotometric assay

ของ 2-(3,4-Dihydroxybenzyl) hydroquinone

ตารางที่ 6 ค่าการดูดกลืนแสงที่ความยาวคลื่น 517 nm และค่า % inhibition ของสาร สังเคราะห์ อนุพันธ์ไฮโดรควิโนน 2-(3,4-Dihydroxybenzyl) hydroquinone โดยวิธี Spectrophotometric assay

ความเข้มข้น	0.125	0.063	0.031	0.016	0.008	0.000 (control)
ครั้งที่	Absorbance (517nm)					
1	0.257	0.262	0.281	0.291	0.305	1.789
2	0.259	0.263	0.28	0.293	0.303	1.750
3	0.258	0.261	0.282	0.293	0.304	1.620
Average	0.258	0.262	0.281	0.292	0.304	1.719
% inhibition	84.997	84.764	83.659	83.000	81.322	0.000



ภาพที่ 15 กราฟความสัมพันธ์ระหว่าง % DPPH inhibition กับความเข้มข้นของ 2-(3,4-Dihydroxybenzyl) hydroquinone

การคำนวณค่า  $IC_{50}$  จากกราฟแสดงความสัมพันธ์ระหว่าง % DPPH inhibition กับความเข้มข้นของ 2-(3,4-Dihydroxybenzyl) hydroquinone คำนวณเช่นเดียวกันกับสารมาตรฐาน BHT

**ตารางที่ 7 ผลการคำนวณค่า  $IC_{50}$  จากกราฟความสัมพันธ์ระหว่าง % DPPH inhibition กับ  
ความเข้มข้นของสารสังเคราะห์อนุพันธ์ไฮโดรควีโนน**

ชื่อสาร	ค่า $IC_{50}$ (mg/ml)
2-(3,4-Dihydroxybenzyl) hydroquinone	0.110
Butyrate hydroxyl toluene (BHT)	0.370

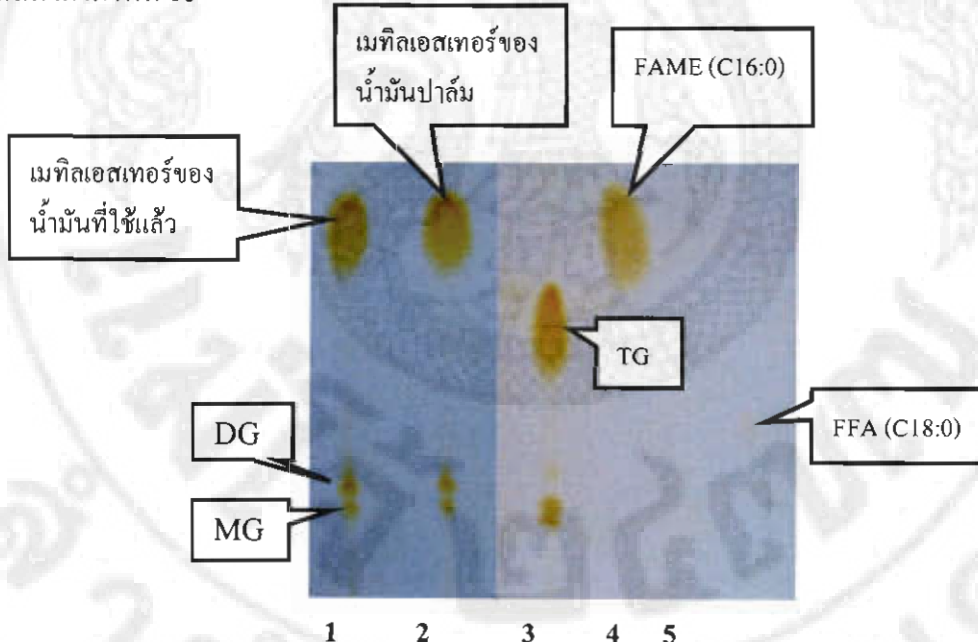
จากการสร้างกราฟความสัมพันธ์ระหว่าง % DPPH inhibition กับความเข้มข้นของ 2-(3,4-Dihydroxybenzyl)hydroquinone และนำข้อมูลมาคำนวณหาค่า  $IC_{50}$  จากสมการ 2 ซึ่งแสดงถึงตัวอย่างการคำนวณค่า  $IC_{50}$  ของสารมาตรฐาน BHT เพื่อเปรียบเทียบกับผลการคำนวณค่า  $IC_{50}$  ของสารสังเคราะห์ 2-(3,4-Dihydroxybenzyl) hydroquinone มีค่า  $IC_{50}$  น้อยกว่าสารมาตรฐาน BHT หมายถึง ความสามารถของสารที่สามารถทำให้ความเข้มข้นของ DPPH ลดลงที่ปริมาณความเข้มข้น 50 เปอร์เซ็นต์ดังนั้นสารสังเคราะห์ 2-(3,4-dihydroxybenzyl) hydroquinone จึงมีฤทธิ์ในการด้านอนุมูลอิสระสูงกว่าค่า  $IC_{50}$  เท่ากับ 0.11 เมื่อเทียบกับสารมาตรฐาน BHT ที่ให้ค่า  $IC_{50}$  เท่ากับ 0.370 ซึ่งให้ผลสอดคล้องกับผลการทดลองฤทธิ์การด้านปฏิกิริยาออกซิเดชันเชิงคุณภาพด้วยเทคนิค DPPH scavenging assay ที่สารสังเคราะห์ 2-(3,4-Dihydroxybenzyl) hydroquinone มีประสิทธิภาพในการด้านปฏิกิริยาออกซิเดชันได้ดีที่สุด โดยสามารถแสดงการฟอกขาวสีม่วงไปเป็นสีเหลืองอ่อนได้ทันทีที่ทำการพ่นสารละลายนี้ DPPH ลงไปบนแผ่น TLC ผลการคำนวณค่า  $IC_{50}$  แสดงดังตารางที่ 7

### ผลจากการวิเคราะห์อนุพันธ์เมทิลเอสเทอร์ด้วยชิโนเลเยอร์โกรกราฟี (TLC)

การวิเคราะห์ด้วยเทคนิค TLC เป็นการวิเคราะห์เบื้องต้นเพื่อให้ทราบถึงองค์ประกอบของ เมทิลเอสเทอร์ ที่ประกอบด้วย โมโนกลิเซอไรด์ ไดกลิเซอไรด์รวมไปถึง ไตรกลิเซอไรด์ ซึ่งเป็นสาร คั้นด้านจากยังคงเหลืออยู่ หากการเตรียมอนุพันธ์เมทิลเอสเทอร์นั้นเกิดปฏิกิริยาไม่สมบูรณ์ จึงเป็นการ วิเคราะห์ที่ช่วยให้ทราบว่า อนุพันธ์เมทิลเอสเทอร์ที่เตรียมได้นั้น มีคุณสมบัติเป็น ไข่ขาวดีเซล ได หรือไม่

#### 3.5.1 ผลจากการวิเคราะห์เมทิลเอสเทอร์ที่ผลิตจากน้ำมันปาล์ม น้ำมันที่เหลือใช้จากการทอด น้ำมัน ถั่วเหลือง และน้ำมันละหุ่ง ด้วยชิโนเลเยอร์โกรกราฟี

ผลจากการวิเคราะห์เมทิลเอสเทอร์ที่เตรียมจากน้ำมันปาล์มและน้ำมันที่ใช้แล้ว โดย เทียบกับสารตั้งต้น (น้ำมันก่อนทำปฏิกิริยา) และสารมาตรฐานเมทิลเอสเทอร์ (C16:0) แสดงดังภาพที่ 16



ภาพที่ 16 ชิโนเลเยอร์โกรกราฟีของเมทิลเอสเทอร์จากน้ำมันปาล์มและน้ำมันที่เหลือใช้จากการทอด

หมายเลข 1 คือ เมทิลเอสเทอร์ของน้ำมันที่เหลือใช้จากการทอด

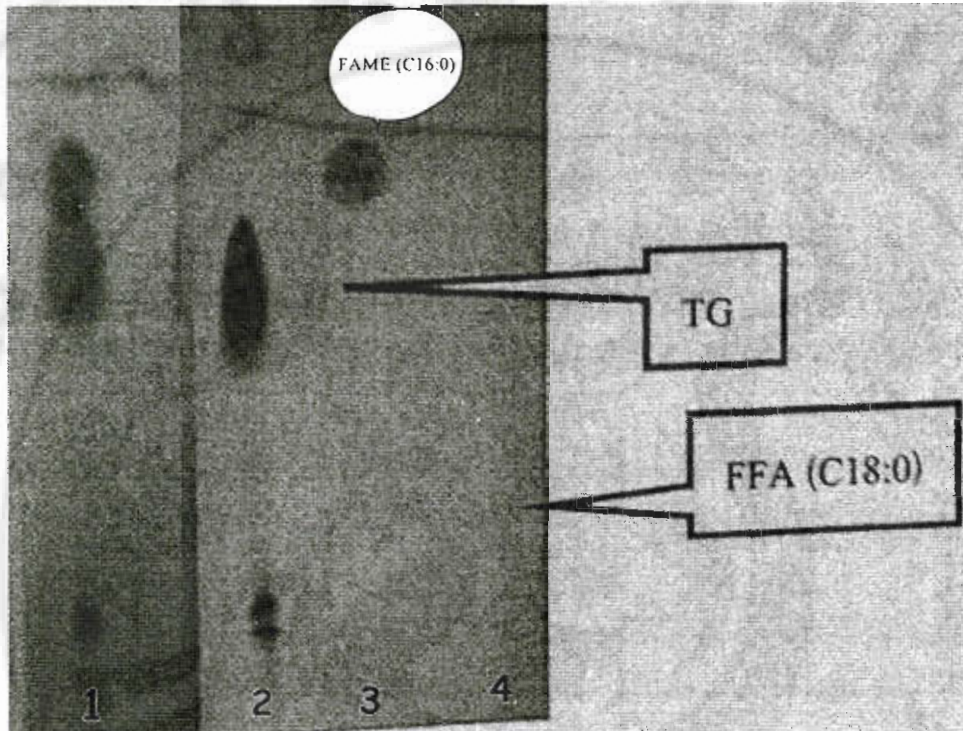
หมายเลข 2 คือ เมทิลเอสเทอร์ของน้ำมันปาล์ม

หมายเลข 3 คือ น้ำมันปาล์มก่อนทำปฏิกิริยา

หมายเลข 4 คือ อนุพันธ์เมทิลเอสเทอร์ของกรดปาล์มนิटิก (C16:0)

หมายเลข 5 คือ กรดไขมันอิสระของกรดสเตียริก (C18:0)

เฟสเคลื่อนที่ กีอิ เอกเซน 90 มิลลิลิตร เอทิลอะซีเตต 10 มิลลิลิตร และกรดซัลฟิวริก 1 มิลลิลิตร ผลจากการวิเคราะห์เมทิลเอสเทอร์ที่เตรียมจากน้ำมันถั่วเหลืองโดยเทียบกับสารตัวต้น(น้ำมันก่อนทำปฏิกิริยา) และสารมาตรฐานเมทิลเอสเทอร์ (C16:0) แสดงดังภาพที่ 17



ภาพที่ 17 ชินแลเยอร์ โคมารา โฟกราฟของเมทิลเอสเทอร์จากน้ำมันถั่วเหลือง

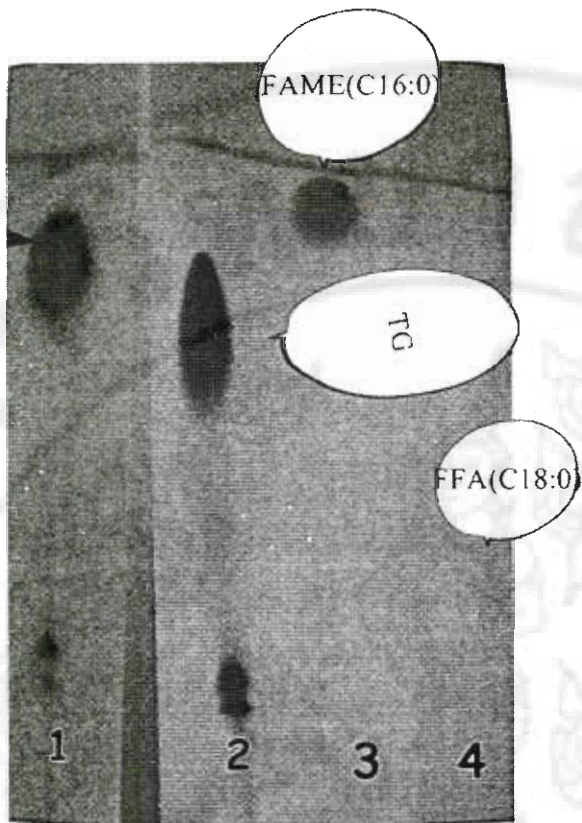
หมายเหตุ 1 กีอิ เมทิลเอสเทอร์ของน้ำมันถั่วเหลือง

หมายเหตุ 2 กีอิ น้ำมันถั่วเหลือง

หมายเหตุ 3 กีอิ อนุพันธ์เมทิลเอสเทอร์ของกรดปาล์มมิคิก (C16:0)

หมายเหตุ 4 กีอิ กรดไบมันอิสระของกรดสเตียริก (C18:0)

เฟสเคลื่อนที่ กีอิ เอกเซน 90 มิลลิลิตร เอทิลอะซีเตต 10 มิลลิลิตร และกรดซัลฟิวริก 1 มิลลิลิตร ผลจากการวิเคราะห์เมทิลเอสเทอร์ที่เตรียมจากน้ำมันละหุ่งโดยเทียบกับสารตัวต้น(น้ำมันก่อนทำปฏิกิริยา) และสารมาตรฐานเมทิลเอสเทอร์ (C16:0) แสดงดัง ภาพที่ 18



ภาพที่ 18 ชิ้นเลเยอร์ โกรมาโทกราฟีของเมทิลเอสเทอร์จากน้ำมันละหุ่ง

หมายเลข 1 คือ เมทิลเอสเทอร์ของน้ำมันละหุ่ง

หมายเลข 2 คือ น้ำมันละหุ่ง

หมายเลข 3 คือ อนุพันธ์เมทิลเอสเทอร์ของกรดปาล์มมิติก (C16:0)

หมายเลข 4 คือ กรดไขมันอิสระของกรดสเตียริก (C18:0)

เฟสเคลื่อนที่ คือ เยกเซน 90 มิลลิลิตร เอทิลอะซีಡ 10 มิลลิลิตร และกรดซัลฟิวริก 1 มิลลิลิตร

จากผลการทดสอบด้วยชิ้นเลเยอร์ โกรมาโทกราฟี (TLC) พบว่า เมทิลเอสเทอร์ของน้ำมัน ปาล์ม น้ำมันที่ใช้แล้วจากการทดสอบ น้ำมันถ้วนเหลือง และน้ำมันละหุ่ง จากปฏิกริยาtransesterification ให้เกิดปฏิกริยาสมบูรณ์ เนื่องจาก บนแผ่น TLC ไม่มีจุดของ ไตรกลีเซอไรด์เหลืออยู่แสดงว่า เมทิลเอสเทอร์ที่เตรียมนั้น สามารถนำไปใช้ในการวิเคราะห์ขั้นต่อไปได้ จึงนำไปวิเคราะห์ทางคุณภาพ ก่อน และคุณสมบัติทางเชื้อเพลิงของน้ำมันทั้งสิ้นนิดเดียวเกี่ยวกับโกรมาโทกราฟีคือไป

**ตารางที่ 8 ร้อยละผลผลิตของเมทิลเอสเทอร์จากน้ำมันปาล์ม น้ำมันที่เหลือใช้จากการทอด น้ำมัน  
ละหุ่ง และน้ำมันถั่วเหลือง**

น้ำมันที่ใช้เตรียมเมทิลเอสเทอร์	ร้อยละผลผลิต
น้ำมันปาล์ม	94.80
น้ำมันที่ใช้แล้วจากการทอด	85.54
น้ำมันละหุ่ง	91.12
น้ำมันถั่วเหลือง	88.98

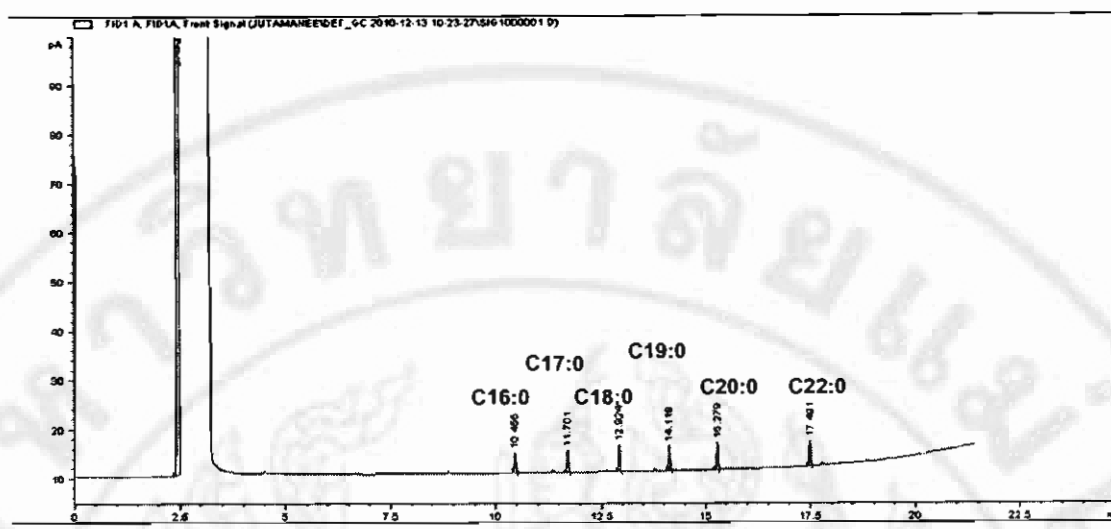
จากผลการวิเคราะห์ด้วยชินเลดเยอร์โกรมาโคกราฟี (TLC) พบว่ามีเมทิลเอสเทอร์เกิดขึ้น ซึ่งแสดงให้เห็นว่าเมทิลเอสเทอร์ที่เตรียมได้เป็นไปโดยดีเซล และไม่มีไตรกีเซอไรด์ (สารดั้งเด้น) เหลืออยู่ และจากวิธีการเตรียมเมทิลเอสเทอร์ขั้นดัน พบว่าน้ำมันปาล์มเป็นน้ำมันที่ให้ร้อยละผลผลิต ที่มากที่สุด

#### **การวิเคราะห์อนุพันธ์เมทิลเอสเทอร์ด้วยเครื่องแแก๊สโกรมาโคกราฟี (GC)**

หลังจากที่ศึกษาองค์ประกอบเบื้องต้นของเมทิลเอสเทอร์ของน้ำมันปาล์ม น้ำมันที่ใช้แล้ว น้ำมันถั่วเหลือง และน้ำมันละหุ่ง ด้วยเทคนิค TLC จึงนำเมทิลเอสเทอร์ของน้ำมันทั้ง 4 ชนิด มาวิเคราะห์องค์ประกอบของกรดไขมันด้วยเทคนิค GC โดยเปรียบเทียบเวลาในการแยกกับสารมาตรฐานกรดไขมันเมทิลเอสเทอร์ที่มีจำนวนคร่าวบน 16-22

#### **การวิเคราะห์สารมาตรฐานกรดไขมันเมทิลเอสเทอร์ที่มีจำนวนคร่าวบน 16-22**

สารมาตรฐานที่วิเคราะห์ด้วย GC ได้แก่ อนุพันธ์เมทิลเอสเทอร์ของกรดไขมัน C16:0 C17:0, C18:0, C19:0, C20:0 และ C22:0 ตามลำดับ โดยใช้คอลัมน์ HP-5 (5% Phenyl Methyl Siloxane) โกรมาโคกรมที่ได้แสดงค่าคง 3.10 และค่าเวลาคงค้างของสารมาตรฐานดังกล่าว แสดงดังตารางที่ 9



ภาพที่ 19 โปรแกรมโถแกรมกรดไขมันเมทิลเอสเทอร์ของสารมาตรฐานที่มีจำนวน การ์บอน 16-22ที่ วิเคราะห์ด้วยคอลัมน์ HP-5 (5% Phenyl Methyl Siloxane) ในช่วงอุณหภูมิ 150-300 °C

ตารางที่ 9 เวลาค่าคงค้างกรดไขมันเมทิลเอสเทอร์ของสารมาตรฐานที่มีจำนวน การ์บอน 16-22

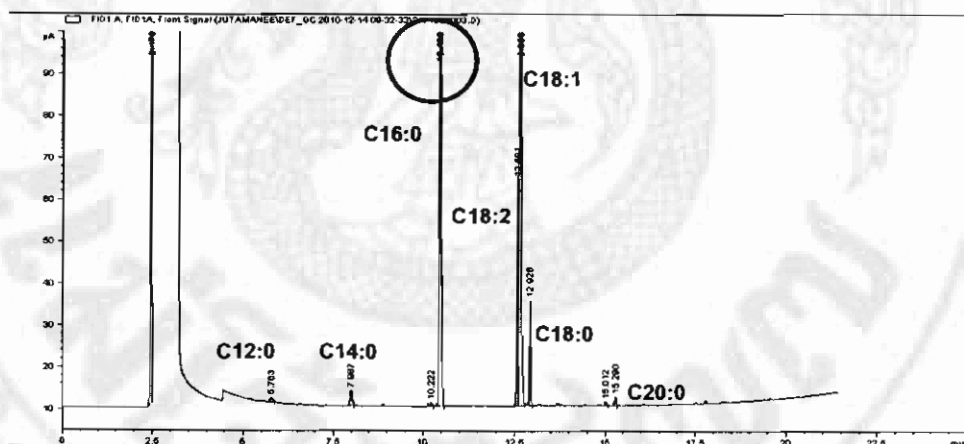
Peak	Name	T <sub>R</sub> (min)
1	Hexane	2.472
2	Palmitic acid methyl ester (C16:0)	10.455
3	Heptadecanoic acid methyl ester (C17:0)	11.701
4	Steric acid methyl ester (C18:0)	12.924
5	Nonadecanoic acid methyl ester (C19:0)	14.119
6	Arachidic acid methyl ester (C20:0)	15.279
7	Behenic acid methyl ester (C22:0)	17.491

จากโปรแกรมของสารมาตรฐานกรดไขมันเมทิลเอสเทอร์ดังเดียวกับการ์บอน 16-22 พนว่าสารมาตรฐานกรดไขมันเมทิลเอสเทอร์ดังเดียวกับการ์บอน 16-22 ประกอบด้วย กรดปาล์ม มิติก (C16:0) กรดสเตียริก (C18:0) กรดไอโซอะราชิคิก (C19:0) กรดอะราชิคิก (C20:0) และกรดเบ

เยนิก (C22:0) จากเวลาคงที่้างของสารมาตรฐานแต่ละตัวแสดงถึงลำดับความมีข้อของเมทิลเอสเทอร์ แต่ละชนิด เนื่องจากคอลัมน์ที่ใช้คือ HP-5 (5% Phenyl Methyl Siloxane) ซึ่งเป็นคอลัมน์ไม่มีข้อ ดังนั้น สารที่แยกออกมามาลำดับแรกจะเป็นสารที่มีข้อสูง จากร่างที่ 9 สารที่มีค่าคงที่้างน้อยที่สุดคือ C16:0, C17:0, C18:0, C19:0, C20:0 และ C22:0 ตามลำดับสามารถนำไปใช้เป็นตัวเปรียบเทียบกับ โภรมาโดยแกรมของกรดไขมันเมทิลเอสเทอร์ที่พบรูปในน้ำมันปาล์ม น้ำมันที่ใช้แล้วจากการทดสอบ น้ำมันละหุ่ง และน้ำมันถั่วเหลือง เพื่อหาองค์ประกอบในกรดไขมันเมทิลเอสเทอร์ที่พบรูปในน้ำมัน ดังกล่าวได้

#### การวิเคราะห์อนุพันธ์เมทิลเอสเทอร์ของน้ำมันปาล์ม

นำเมทิลเอสเทอร์ของน้ำมันปาล์มทดสอบด้วยเทคนิค GC เพื่อวิเคราะห์หาองค์ประกอบ ของกรดไขมัน โดยใช้คอลัมน์ HP-5 (5% Phenyl Methyl Siloxane) โภรมาโดยแกรมดังภาพที่ 20 และค่าคงที่้างของสารดังแสดงในตารางที่ 10



ภาพที่ 20 โภรมาโดยแกรมอนุพันธ์เมทิลเอสเทอร์ของน้ำมันปาล์มที่วิเคราะห์ด้วยคอลัมน์ HP-5 (5% Phenyl Methyl Siloxane) ในช่วงอุณหภูมิ 150-300 °C

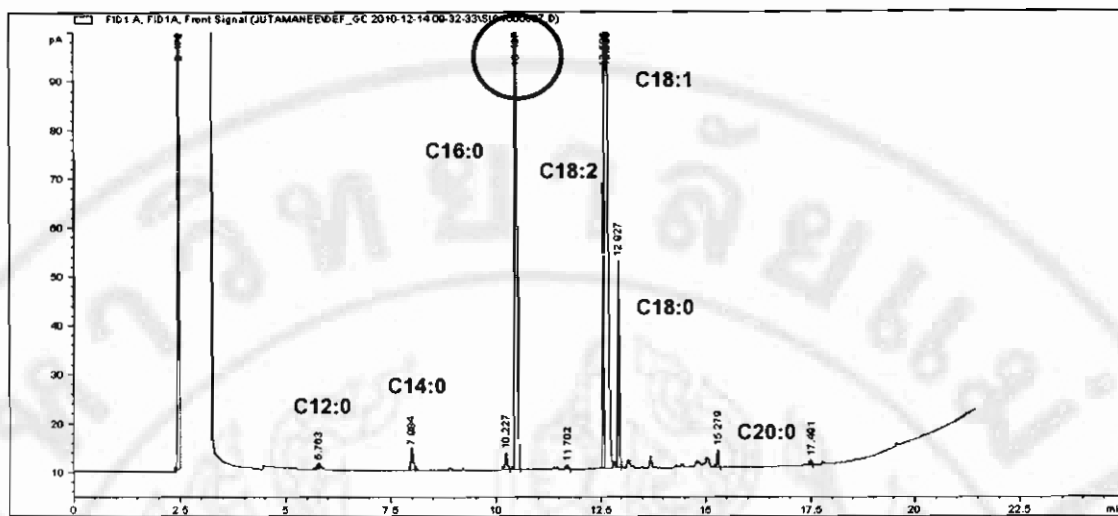
**ตารางที่ 10 เวลาค่าคงค้างของกรดไขมันที่เป็นองค์ประกอบในน้ำมันปาล์ม**

Peak	Name	T <sub>R</sub> (min)
1	Hexane	2.479
2	Lauric acid methyl ester (12:0)	5.763
3	Myristic acid methyl ester (14:0)	7.987
4	Palmitic acid methyl ester (C16:0)	10.463
5	Steric acid methyl ester (C18:0)	12.926
6	Oleic acid methyl ester (C18:1)	12.653
7	Linoleic acid methyl ester (C18:2)	12.581
8	Arachidic acid methyl ester (C20:0)	15.28

จากโปรแกรมของกรดไขมันเมทิลเอสเทอร์ที่พับในน้ำมันปาล์ม พบว่าประกอบด้วยกรดไขมันทึ่งอิ่มตัวและไม่อิ่มตัว กรดไขมันอิ่มตัวประกอบด้วย กรดคลอริก (C12:0) กรดไมริสติก (C14:0) กรดปาล์มนิटิก (C16:0) กรดสเตียริก (C18:0) และกรดอะราชิดิก (C20:0) ส่วนกรดไขมันไม่อิ่มตัวประกอบด้วย กรดโอลีเลอิก (C18:1) และกรดคลิโนเลอิก (C18:2) ซึ่งพื้กที่ปราศจากน้ำมันไม่อิ่มตัวประกอบด้วย กรดโอลีเลอิก (C18:1) และกรดคลิโนเลอิก (C18:2) เนื่องจากเป็นกรดไขมันอิ่มตัวและไม่อิ่มตัวที่พบมากที่สุดในน้ำมันปาล์ม

**การวิเคราะห์อนุพันธ์เมทิลเอสเทอร์ของน้ำมันที่เหลือใช้จากการทอด**

นำเมทิลเอสเทอร์ของน้ำมันที่เหลือใช้จากการทอดทดสอบด้วยเทคนิค GC เพื่อวิเคราะห์หาองค์ประกอบของกรดไขมัน โดยใช้คอลัมน์ HP-5 (5% Phenyl Methyl Siloxane) โปรแกรมดังภาพที่ 21 และค่าคงค้างของสารดังแสดงในตารางที่ 11



ภาพที่ 21 โปรแกรมไอโอดีแกรมอนุพันธ์เมทิลเอสเทอร์ของน้ำมันที่เหลือใช้จากการทอดที่วิเคราะห์ด้วย  
คอลัมน์ HP-5 (5% Phenyl Methyl Siloxane) ในช่วงอุณหภูมิ 150-300 °C

ตารางที่ 11 เวลาค่าคงค้างของกรดไขมันที่เป็นองค์ประกอบในน้ำมันที่เหลือใช้จากการทอด

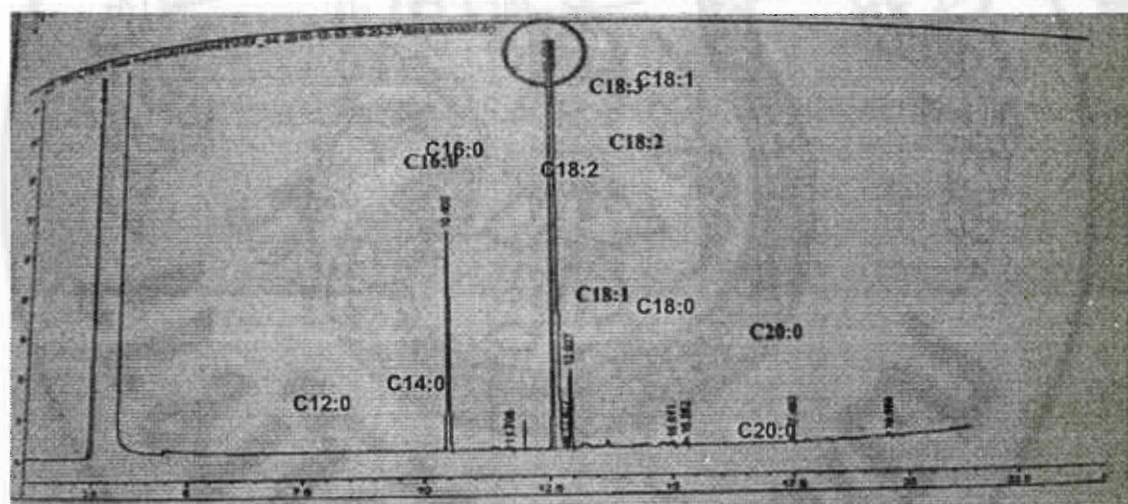
Peak	Name	$T_R$ (min)
1	Hexane	2.479
2	Lauric acid methyl ester (12:0)	5.801
3	Myristic acid methyl ester (14:0)	7.984
4	Palmitic acid methyl ester (C16:0)	10.467
5	Steric acid methyl ester (C18:0)	12.927
6	Oleic acid methyl ester (C18:1)	12.659
7	Linoleic acid methyl ester (C18:2)	12.586
8	Arachidic acid methyl ester (C20:0)	15.279

จากโปรแกรมไอโอดีแกรมของกรดไขมันเมทิลเอสเทอร์ที่พบในน้ำมันที่ใช้แล้วจากการทอด พบว่า ประกอบด้วยกรดไขมันทั้งอิ่มตัวและไม่อิ่มตัวหนึ่นมีอนกับที่พบในน้ำมันปาล์ม เนื่องจากเป็นน้ำมัน

ปาล์มเช่นเดียวกัน แต่ผ่านความร้อนจากการประกอบอาหารมาแล้ว ซึ่งกรดไขมันอิ่มตัวที่พูนประกอบคือ กรดคลอริก (C12:0) กรดไมเรสติก (C14:0) กรดปาล์มนิดิก (C16:0) กรดสเตียริก (C18:0) และกรดอะราชิดิก (C20:0) ส่วนกรดไขมันไม่อิ่มตัวประกอบคือ กรดไขมันอิ่มตัวที่พูนและกรดลิโนเลอิก (C18:2) ซึ่งพิเศษที่ปรากฏเด่นชัดคือ กรดปาล์มนิดิก และกรดไขมันอิ่มตัวที่พูน เป็นกรดไขมันอิ่มตัวเหล่านี้ไม่อิ่มตัวที่พูนมากที่สุดในน้ำมันปาล์ม

#### การวิเคราะห์อนุพันธ์เมทิลเอสเทอร์ของน้ำมันถั่วเหลือง

นำเมทิลเอสเทอร์ของน้ำมันถั่วเหลืองมาทดสอบด้วยเทคนิค GC เพื่อวิเคราะห์หาองค์ประกอบของกรดไขมัน โดยใช้คอลัมน์ HP-5 (5% Phenyl Methyl Siloxane) โปรแกรมตั้งภาพที่ 22 และค่าคงค้างของสารดังแสดงในตารางที่ 11



ภาพที่ 22 โปรแกรมตั้งภาพที่วิเคราะห์ค่าของอนุพันธ์เมทิลเอสเทอร์ของน้ำมันถั่วเหลืองที่วิเคราะห์ด้วยคอลัมน์ HP-5 (5% Phenyl Methyl Siloxane) ในช่วงอุณหภูมิ 150-300 °C

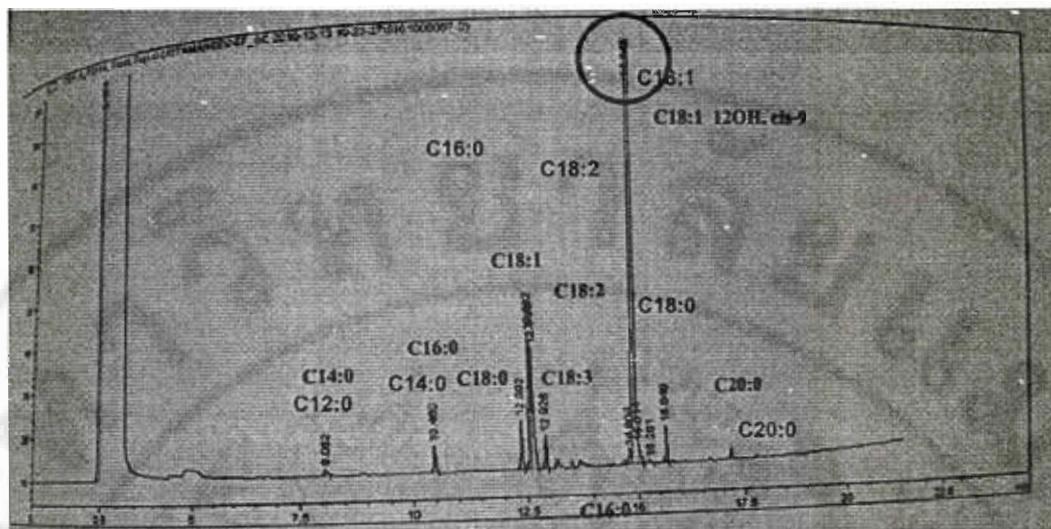
**ตารางที่ 12 เวลาค่าคงค้างของกรดไขมันที่เป็นองค์ประกอบในน้ำมันถั่วเหลือง**

Peak	Name	T <sub>R</sub> (min)
1	Hexane	2.475
2	Palmitic acid methyl ester (16:0)	11.706
3	Linolenic acid methyl ester (18:3)	12.592
4	Linoleic acid methyl ester (C18:2)	12.653
5	Oleic acid methyl ester (C18:1)	12.827
6	Steric acid methyl ester (C18:0)	12.927
7	Eicosadienoic acid methyl ester (C18:2)	12.581
8	Arachidic acid methyl ester (C20:0)	15.282
9	Docosanoic acid methyl ester (C22:0)	17.493
10	Tetracosanoic acid methyl ester (C24:0)	19.559

จากโกรนาโตกแกรมของกรดไขมันเนทิลเอสเทอร์ที่พนในน้ำมันถั่วเหลือง พบว่า ประกอบด้วยกรดไขมันทั้งอิ่มตัวและไม่อิ่มตัว ซึ่งพิเศษที่ปรากฏเด่นชัดคือ กรดลิโนเลนิก เนื่องจากเป็นกรดไขมันไม่อิ่มตัวที่พนมากที่สุดในน้ำมันถั่วเหลือง

**การวิเคราะห์อนุพันธ์เมทิลเอสเทอร์ของน้ำมันละหุ่ง**

นำเมทิลเอสเทอร์ของน้ำมันละหุ่งมาทดสอบด้วยเทคนิค GC เพื่อวิเคราะห์หาองค์ประกอบของกรดไขมัน โดยใช้คอลัมน์ HP-5 (5% Phenyl Methyl Siloxane) โกรนาโตกแกรมดังภาพที่ 23 และค่าคงค้างของสารดังแสดงในตารางที่ 13



ภาพที่ 23 โครโนโต์แกรมอนุพันธ์เมทิลเอสเตอโร์ของน้ำมันถั่วเหลืองที่วิเคราะห์ด้วย  
คอลัมน์ HP-5 (5% Phenyl Methyl Siloxane) ในช่วงอุณหภูมิ 150-300 °C

ตารางที่ 13 เวลาค่าคงค้างของกรดไขมันที่เป็นองค์ประกอบในน้ำมันถั่วเหลือง

Peak	Name	T <sub>R</sub> (min)
1	Hexane	2.473
2	Myristic acid methyl ester (14:0)	8.052
3	Palmitic acid methyl ester (16:0)	10.460
4	Linolenic acid methyl ester (18:3)	12.392
5	Linoleic acid methyl ester (C18:2)	12.582
6	Oleic acid methyl ester (C18:1)	12.644
7	Steric acid methyl ester (C18:0)	12.928
8	Ricinoleic acid methyl ester (C18:1 12OH Cis-9)	14.942

จากโภรนาโtopic แกรนของกรดไขมันเนทิลเอสเตอร์ที่พบในน้ำมันถั่วเหลือง พนว่า ประกอบด้วยกรดไขมันทั้งอิ่มตัวและไม่อิ่มตัว ซึ่งพิเศษที่ปราศจากคีโอดีออกซ์โรบิโนเลอิก เนื่องจาก เป็นกรดไขมันไม่อิ่มตัวที่พบมากที่สุด ในน้ำมันละหุ่ง

**การวิเคราะห์ร้อยละองค์ประกอบของกรดไขมันเนทิลเอสเตอร์จากน้ำมันปาล์มน้ำมันที่เหลือใช้จากการทอด** น้ำมันถั่วเหลือง และน้ำมันละหุ่ง ด้วยเทคนิคแก๊สโคมนาโtopicрафี (GC)

จากการวิเคราะห์องค์ประกอบของกรดไขมันจากน้ำมันปาล์มน้ำมันที่ใช้แล้วจากการทอด น้ำมันถั่วเหลือง และน้ำมันละหุ่ง แสดงโภรนาtopic ดังภาพที่ 20-23 สามารถคำนวณร้อยละองค์ประกอบของกรดไขมันได้ด้วยสมการ 3 ผลการคำนวณแสดงดังตารางที่ 14-17

$$\% \text{Fatty acid} = 100 \left( \frac{A_x}{\sum A_x} \right) \quad (3)$$

โดย  $A_x$  = พื้นที่ของสาร  $x$  ในตัวอย่าง

ตารางที่ 14 ร้อยละองค์ประกอบของกรดไขมันเนทิลเอสเตอร์จากน้ำมันปาล์มน้ำมัน

Fatty acids methyl ester	Carbon No.	Area(pA*s)	%Fatty acids
Lauric acid methyl ester	C12:0	5.000	0.320
Myristic acid methyl ester	C14:0	13.300	0.850
Palmitic acid methyl ester	C16:0	595.600	38.230
Stearic acid methyl ester	C18:0	65.800	4.230
Oleic acid methyl ester	C18:1	737.100	47.310
Linoleic acid methyl ester	C18:2	135700	8.710
Arachidic acid methyl ester	C20:0	5.500	0.350
<b>Total area and total %FA</b>		<b>1558.0</b>	<b>100</b>
<b>Total saturated fatty acids</b>	-		<b>43.980</b>
<b>Total unsaturated fatty acids</b>	-		<b>56.020</b>

จากการคำนวณร้อยละองค์ประกอบของกรดไขมันเมทิลเอสเทอร์จากน้ำมันปาล์ม พบร้อยละ องค์ประกอบของกรดไขมันเมทิลเอสเทอร์ชนิดอื่นตัวอื่นกว่ากรดไขมันชนิดไม่อิ่มตัว ซึ่งจะพบ กรดโอลีกมากกว่ากรดปาล์มนิติก เนื่องจากน้ำมันที่ใช้เป็นน้ำมันปาล์มโอลีน จึงมีกรดโอลีกมากกว่ากรดปาล์มนิติก ส่งผลให้ร้อยละองค์ประกอบของกรดไขมันเมทิลเอสเทอร์ชนิดอื่นตัวอื่น กว่ากรดไขมันชนิดไม่อิ่มตัว

ตารางที่ 15 ร้อยละองค์ประกอบของกรดไขมันเมทิลเอสเทอร์ของน้ำมันที่เหลือใช้จากการทอด

Fatty acids methyl ester	Carbon No.	Area(pA*s)	%Fatty acids
Lauric acid methyl ester	C12:0	6.600	0.680
Myristic acid methyl ester	C14:0	16.900	0.710
Palmitic acid methyl ester	C16:0	828.700	37.840
Stearic acid methyl ester	C18:0	109.600	4.600
Oleic acid methyl ester	C18:1	1051.900	42.820
Linoleic acid methyl ester	C18:2	330.600	12.890
Arachidic acid methyl ester	C20:0	10.400	0.460
<b>Total area and total %FA</b>		<b>2378.760</b>	<b>100</b>
<b>Total saturated fatty acids</b>	-		<b>43.830</b>
<b>Total unsaturated fatty acids</b>	-		<b>56.170</b>

จากการคำนวณร้อยละองค์ประกอบของกรดไขมันเมทิลเอสเทอร์ของน้ำมันที่ใช้แล้วจากการ ทอด พบร้อยละองค์ประกอบของกรดไขมันเมทิลเอสเทอร์ชนิดอื่นตัวอื่นกว่ากรดไขมันชนิดไม่อิ่มตัว และพบกรดโอลีกมากกว่ากรดปาล์มนิติก เช่นเดียวกับที่พบรอยในเมทิลเอสเทอร์จากน้ำมัน ปาล์ม แต่จะพบกรดโอลีก และกรดปาล์มนิติกน้อยกว่า เมื่อจากน้ำมันได้ผ่านการให้ความร้อนซึ่ง ความร้อนจะไปถลายกรดไขมันและวิตามินที่อยู่ในน้ำมัน รวมไปถึงการเกิดปฏิกิริยาไฮโดรไลซิส ที่ จะทำให้เกิดกรดไขมันอิสระขึ้น ซึ่งทำให้ปริมาณกรดไขมัน ไม่อิ่มตัวเพิ่มมากขึ้น ซึ่งมีมากกว่า เมทิลเอสเทอร์จากน้ำมันปาล์ม

ตารางที่ 16 ร้อยละของค่าประกอบของกรดไขมันเมทิลเอสเทอร์จากน้ำมันถั่วเหลือง

Fatty acids methyl ester	Carbon No.	Area(pA*s)	%Fatty acids
Palmitic acid methyl ester	C16:0	9.700	11.370
Linolenic acid methyl ester	C18:0	44.600	3.560
Linoleic acid methyl ester	C18:1	7.100	0.330
Oleic acid methyl ester	C18:2	411.100	32.730
Steric acid methyl ester	C18:3	696.100	50.640
Eicosadienoic acid methyl ester	C20:2	3.100	0.250
Arachidic acid methyl ester	C20:0	4.400	0.350
Docosanoic acid methyl ester	C22:0	5.300	0.430
Tetracosanoic acid methyl ester	C24:0	1.600	0.130
<b>Total area and total %FA</b>		<b>1183.000</b>	<b>100</b>
<b>Total saturated fatty acids</b>	-		<b>15.749</b>
<b>Total unsaturated fatty acids</b>	-		<b>83.251</b>

จากการคำนวณร้อยละของค่าประกอบกรดไขมันเมทิลเอสเทอร์ของน้ำมันถั่วเหลือง พบร้อยละของค่าประกอบของกรดไขมันเมทิลเอสเทอร์ชนิดอิ่มตัวน้อยกว่ากรดไขมันชนิดไม่อิ่มด้วย

**ตารางที่ 17 ร้อยละองค์ประกอบของกรดไขมันเมทิลเอสเตอร์จากน้ำมันละหุ่ง**

Fatty acids methyl ester	Carbon No.	Area(pA*s)	%Fatty acids
Myristic acid methyl ester	C14:0	96.200	0.450
Palmitic acid methyl ester	C16:0	17.000	1.230
Linolenic acid methyl ester	C18:0	18.600	1.340
Linoleic acid methyl ester	C18:1	88.100	6.360
Oleic acid methyl ester	C18:2	76.100	5.490
Steric acid methyl ester	C18:3	30.400	2.190
Ricinoleic acid methyl ester	C18:1 12OHcis-9	1134.700	81.90
Arachidic acid methyl ester	C20:0	13.000	0.100
<b>Total area and total %FA</b>		<b>1384.100</b>	<b>100</b>
<b>Total saturated fatty acids</b>	-		<b>3.116</b>
<b>Total unsaturated fatty acids</b>	-		<b>96.884</b>

จากการคำนวณร้อยละองค์ประกอบกรดไขมันเมทิลเอสเตอร์ของน้ำมันละหุ่งพบร้อยละองค์ประกอบของกรดไขมันเมทิลเอสเตอร์ชนิดอิ่มตัวน้อยกว่ากรดไขมันชนิดไม่อิ่มตัว

**การคำนวณค่าสปอนนิฟิเกชัน (Saponification number) จากแก๊สโคลโนมาโทกราฟี**

ข้อมูลที่ได้จากการวิเคราะห์องค์ประกอบกรดไขมันด้วยแก๊สโคลโนมาโทกราฟี สามารถนำมาคำนวณค่าสปอนนิฟิเกชันของกรดไขมันเมทิลเอสเตอร์ได้โดยใช้สมการ 5 และคำนวณค่าสปอนนิฟิเกชันของไขมันดิเซลจากน้ำมันปาล์มและน้ำมันที่ใช้แล้วจากการทดสอบได้โดยใช้สมการ 4 (Krisnangkura et al., 1991: 56-58)

$$SN_{(lipid)} = \sum \left[ \left( SN_{(FAME)} \times (\%FA) \right) / 100 \right] \quad (4)$$

$$SN_{(FAME)} = \frac{56(1000)}{MW_{(FAME)}} \quad (5)$$

**ตารางที่ 18 ค่าสปอนนิฟิเคชันของกรดไขมันเมทิลเอสเตอร์จากน้ำมันปาล์ม**

Fatty acids methyl ester	SN <sub>(FAME)</sub>	SN <sub>(FAME)</sub> *%FA
Lauric acid methyl ester	261.682	0.840
Myristic acid methyl ester	231.405	1.970
Palmitic acid methyl ester	207.407	79.290
Stearic acid methyl ester	187.919	7.950
Oleic acid methyl ester	189.189	89.500
Linoleic acid methyl ester	190.476	16.590
Arachidic acid methyl ester	171.779	0.600
SN <sub>(lipid)</sub>	-	196.740

ดังนั้นค่าสปอนนิฟิเคชันของกรดไขมันเมทิลเอสเตอร์จากน้ำมันปาล์มที่วิเคราะห์ได้จากการทวนกับแก๊สโถรนาโตกราฟีเท่ากับ 196.740

การคำนวณค่าสปอนนิฟิเคชันของกรดไขมันเมทิลเอสเตอร์ของน้ำมันที่ใช้แล้วจากการทดสอบน้ำมันละหุ่ง และน้ำมันถั่วเหลือง มีวิธีการคำนวณเช่นเดียวกัน การคำนวณค่าสปอนนิฟิเคชันของกรดไขมันเมทิลเอสเตอร์จากน้ำมันปาล์ม ซึ่งแสดงผลการทดลองที่ได้ ดังตารางที่ 19

**ตารางที่ 19 ผลการคำนวณค่าสปอนนิฟิเคชันของเมทิลเอสเตอร์จากน้ำมันปาล์มน้ำมันที่เหลือใช้จากการทดสอบน้ำมันละหุ่ง และน้ำมันถั่วเหลือง**

เมทิลเอสเตอร์	ค่าสปอนนิฟิเคชัน (mg KOH/g)
จากน้ำมันปาล์ม	196.740
จากน้ำมันน้ำมันที่เหลือใช้จากการทดสอบ	196.680
จากน้ำมันถั่วเหลือง	192.210
จากน้ำมันละหุ่ง	186.850

ค่าสปอนนิฟิเกชัน เป็นค่าที่สามารถบอกการสลายพันธะของไตรกลีเซอไรด์ (สารตั้งต้น) ได้ หากค่าสปอนนิฟิเกชันมีค่านาก แสดงว่าไตรกลีเซอไรด์มีการสลายพันธะมาก โนเลกุลของไตรกลีเซอไรด์จะมีขนาดเล็กลง แต่ถ้าค่าสปอนนิฟิเกชันน้อย แสดงว่าไตรกลีเซอไรด์มีการสลายพันธะน้อย โนเลกุลของไตรกลีเซอไรด์ซึ่งคงมีขนาดใหญ่อยู่ ซึ่งจากผลการทดลองพบว่า ค่าสปอนนิฟิเกชันของเมทิลเอสเทอร์จากน้ำมันปาล์ม และน้ำมันที่เหลือจากการหด มีค่าสปอนนิฟิเกชันอยู่ในส่วนกำหนดของมาตรฐานใบโอดีเซล (196-210 mg KOH/g) แต่เมทิลเอสเทอร์จากน้ำมันถั่วเหลือง และน้ำมันละหุ่ง ให้ค่าสปอนนิฟิเกชันต่ำกว่ากำหนดมาตรฐานของใบโอดีเซล เนื่องจากน้ำมันเหล่านี้อาจจะเกิดกรดไขมันอิสระซึ่งกรดไขมันอิสระจะเข้าไปทำปฏิกิริยากับตัวเร่งปฏิกิริยา ส่งผลให้มีการมีการสลายพันธะน้อยลง ทำให้ปฏิกิริยาเกิดขึ้นได้ไม่สมบูรณ์

#### การคำนวณค่าไอโอดีน (Iodine value) จากแก๊สโคมาร์โถกราฟี

ข้อมูลที่ได้จากการวิเคราะห์ห้องค์ประกอบกรดไขมันด้วยแก๊สโคมาร์โถกราฟี สามารถคำนวณค่า  $IV_{(FAME)}$  ของกรดไขมันเมทิลเอสเทอร์ได้โดยใช้สมการที่ 7 และคำนวณค่า  $IV_{(lipid)}$  ของใบโอดีเซล จากน้ำมันปาล์ม น้ำมันที่ใช้แล้วจากการหด น้ำมันถั่วเหลือง และน้ำมันละหุ่ง ได้โดยใช้สมการ 6 (Krisnangkura et al., 1991: 56-58)

$$IV_{(lipid)} = \sum \left[ \left( IV_{(FAME)} \times (\%FA) \right) / 100 \right] \quad (6)$$

$$IV_{(FAME)} = \left[ \frac{(126.9 \times 2) \times 100 \times \text{number of double bond}}{\text{MW of FA}} \right] \quad (7)$$

ตารางที่ 20 การคำนวณค่าไอโอดีนของกรดไขมันเมทิลเอสเทอร์จากน้ำมันปาล์ม

Fatty acids methyl ester	$IV_{(FAME)}$	%FA	$IV_{(FAME)} \times \%FA$
C(18:1)	85.740	47.310	40.560
C(18:2)	172.650	8.710	15.040
$IV_{(lipid)}$	-	-	<b>55.600</b>

ดังนั้นค่าไอิโอดีนของกรดไบมันเมทิลเอสเทอร์จากน้ำมันปาล์ม ที่วิเคราะห์ได้จากเทคนิคแก๊สโคมนาโนได้รีไฟเท่ากับ 55.600

การคำนวณค่าไอิโอดีนของเมทิลเอสเทอร์จากน้ำมันที่ใช้แล้วจากการทดสอบ น้ำมันถั่วเหลือง และน้ำมันละหุ่งมีวิธีคำนวณเช่นเดียวกับการคำนวณไอิโอดีนของเมทิลเอสเทอร์จากน้ำมันปาล์ม ซึ่งแสดงผลการทดลองที่คำนวณได้ดังตารางที่ 21

**ตารางที่ 21 ผลการคำนวณค่าไอิโอดีนของเมทิลเอสเทอร์จาก น้ำมันปาล์ม น้ำมันที่เหลือใช้จากการทดสอบ น้ำมันถั่วเหลือง และน้ำมันละหุ่ง**

เมทิลเอสเทอร์	ค่าไอิโอดีน (กรัมไอิโอดีน/100 กรัม)
จากน้ำมันปาล์ม	55.600
จากน้ำมันที่เหลือใช้จากการทดสอบ	58.860
จากน้ำมันถั่วเหลือง	189.220
จากน้ำมันละหุ่ง	90.410

ค่าไอิโอดีนจะแสดงถึงการมีสัดส่วนของกรดไบมันไม่อิ่นตัวในโครงสร้างไบโอดีเซล ซึ่งถ้ามีค่าไอิโอดีนมาก แสดงว่ามีสัดส่วนของกรดไบมันไม่อิ่นตัวสูง ซึ่งทำให้มีแนวโน้มในการเกิดปฏิกิริยาออกซิเดชันสูง แต่ถ้าค่าไอิโอดีนค่อนข้างต่ำ แสดงว่ามีสัดส่วนของกรดไบมันอิ่นตัวสูง ส่งผลให้ไม่มีแนวโน้มในการเกิดออกซิเดชัน ซึ่งจากผลการทดลองพบว่า ค่าไอิโอดีนของเมทิลเอสเทอร์จากน้ำมันปาล์ม และน้ำมันที่ใช้แล้วจากการทดสอบ และน้ำมันละหุ่งมีค่าไอิโอดีนอยู่ในส่วนกำหนดของมาตรฐานไบโอดีเซล (ไม่เกิน 120 กรัมไอิโอดีน/100 กรัม) แต่เมทิลเอสเทอร์ที่ได้จากน้ำมันถั่วเหลืองมีค่าไอิโอดีนที่สูง เนื่องจากน้ำมันถั่วเหลืองมีสัดส่วนของกรดไบมันไม่อิ่นตัวอยู่ในปริมาณมาก

#### การคำนวณค่าซีเทน (Cetane number)

ค่าซีเทนเป็นค่าที่บอกรวมน้ำมันมีค่าการลุกคิดไฟซึ่งวิธีการในการคำนวณมีความยุ่งยาก ดังนี้ในการทดลองนี้จึงได้ใช้สมการ 8 (Krisnangkura et al., 1991: 56-58)ในการคำนวณซึ่งมีความรวดเร็วกว่า การทดลองแบบปกติ ยกตัวอย่างการคำนวณค่าซีเทนของเมทิลเอสเทอร์จากน้ำมันปาล์ม ดังสมการ

$$\begin{aligned}
 CN &= \frac{46.3 + 5458 - 0.22IV_{\text{(lipid)}}}{SN_{\text{(lipid)}}} \quad (8) \\
 &= \frac{46.3 + 5458 - 0.22(55.60)}{196.74} \\
 &= 56.81
 \end{aligned}$$

ดังนั้นค่าซีเทนมีค่าเท่ากับ 56.81

การคำนวณค่าซีเทนของเมทิลเอสเทอร์จากน้ำมันที่ใช้แล้วจากการทอด น้ำมันถั่วเหลือง และน้ำมันละหุ่ง มีวิธีคำนวณเช่นเดียวกับการคำนวณค่าซีเทนของน้ำมันปาล์ม ซึ่งแสดงผลการทดลองที่คำนวณได้แสดงดังตารางที่ 22

ตารางที่ 22 ผลการคำนวณค่าซีเทนของเมทิลเอสเทอร์จากน้ำมันที่เหลือใช้จากการทอด น้ำมันถั่วเหลือง และน้ำมันละหุ่ง

เมทิลเอสเทอร์	ค่าไอโอดีน (กรัมไอโอดีน/100 กรัม)
จากน้ำมันปาล์ม	56.810
จากน้ำมันที่เหลือใช้จากการทอด	51.890
จากน้ำมันถั่วเหลือง	33.090
จากน้ำมันละหุ่ง	55.620

ค่าซีเทนเป็นค่าที่ทำให้ทราบถึงความสามารถในการจุดระเบิดและการลุกติดไฟได้เร็วซึ่งมีผลต่อการสตาร์ทติดของเครื่องยนต์ การเผาไหม้ และปริมาณกลพิษในไอเสียซึ่งถ้าค่าซีเทนมากจะยิ่งทำให้การสตาร์ทติดของเครื่องยนต์ง่ายขึ้น แต่ก็ไม่ควรนิ่มค่าเกิน 60 จากผลการทดลองพบว่า ค่าซีเทนของเมทิลเอสเทอร์จากน้ำมันปาล์ม และน้ำมันที่ใช้แล้วจากการทอด น้ำมันถั่วเหลือง และน้ำมันละหุ่ง มีค่าซีเทนอยู่ในส่วนกำหนดของมาตรฐานใบอนุญาตเชล

### การคำนวณค่าความร้อนของการเผาไหม้ (heat of combustion)

เป็นค่าที่บ่งบอกปริมาณความร้อนที่ถูกปลดปล่อยของอุกมาเมื่อสารถูกเผาไหม้อข่างสมบูรณ์ในที่สุดสามารถหาค่า HG ได้จากสมการ 9 (Krisnangkura et al., 1991: 56-58) ยกตัวอย่างการคำนวณ ค่าความร้อนของการเผาไหม้ของเมทิลเอสเทอร์จากน้ำมันปาล์ม ดังสมการ

$$\begin{aligned}
 \text{HG}_{(\text{FAME})} &= \frac{618000}{\text{SN}(\text{lipid})} - 0.08\text{IV}(\text{lipid}) - 430 \quad (9) \\
 &= \frac{618000}{196.74} - 0.08(55.6) - 430 \\
 &= 45.18 \text{ MJ/Kg}
 \end{aligned}$$

ดังนั้นค่าความร้อนของการเผาไหม้มีค่าเท่ากับ 45.16 MJ/Kg

การคำนวณค่าความร้อนของการเผาไหม้ของเมทิลเอสเทอร์จากน้ำมันที่ใช้แล้วจากการทดสอบน้ำมันถั่วเหลือง และน้ำมันละหุ่ง มีวิธีคำนวณเช่นเดียวกับการคำนวณเช่นเดียวกับการคำนวณค่าความร้อนของการเผาไหม้ของเมทิลเอสเทอร์จากน้ำมันปาล์ม ซึ่งแสดงผลการทดลองที่คำนวณได้ดังตารางที่ 23

ตารางที่ 23 ผลการคำนวณค่าความร้อนของการเผาไหม้ (HG) ของเมทิลเอสเทอร์จากน้ำมันปาล์มน้ำมันที่เหลือใช้จากการทดสอบ น้ำมันถั่วเหลือง และน้ำมันละหุ่ง

เมทิลเอสเทอร์	$\text{HG}_{(\text{FAME})}$ (MJ/Kg)
จากน้ำมันปาล์ม	45.160
จากน้ำมันที่เหลือใช้จากการทดสอบ	45.080
จากน้ำมันถั่วเหลือง	40.490
จากน้ำมันละหุ่ง	41.950

ค่าความร้อนจากการเผาไหม้ เป็นค่าที่บ่งบอกปริมาณความร้อนที่ถูกปลดปล่อยออกมานี้ เมื่อสารถูกเผาให้มือข้างสมบูรณ์ โดยปกติ พลังงานจากการเผาไหม้ของไข่ไก่จะสูงกว่าเดี่ยวเรือละ 10 ถ้าเดี่ยวให้ค่าความร้อนของการเผาไหม้ 100 กิโลจูล/กรัมเดี่ยวจะสูงกว่าเดี่ยวเรือละ 10 กิโลจูล/กรัมในไข่เดี่ยว ซึ่งในไข่เดี่ยวจะใช้อีเพลิงมากกว่าเดี่ยวเรือละ 10 และคงว่า หากมีค่าความร้อนของการเผาไหม้มาก จะใช้ปริมาณเชื้อเพลิงน้อยลง แต่ไม่รวมมีค่าแกิน 46 ซึ่งจากผลการทดลองพบว่า ค่าความร้อนของการเผาไหม้ของเมทิลเอสเตอร์จากน้ำมันพืช 4 ชนิด มีค่าความร้อนของการเผาไหม้อยู่ในส่วนกำหนดของมาตรฐานไข่เดี่ยว

### การคำนวณค่าของกรดจากการไทยเทรต

ความเป็นกรดในน้ำมันไข่เดี่ยวเป็นผลมาจากการปริมาณกรดไขมันอิสระในวัสดุดินน้ำมันพืชและปริมาณกรดที่ใช้ในกระบวนการผลิตไข่เดี่ยวซึ่งมีผลต่อการกัดกร่อนในเครื่องยนต์ทำให้อาชญาการใช้งานของปืนและไส้กรองน้ำมันลดลงนอกจากนี้ยังแสดงถึงการเสื่อมสภาพของน้ำมันเนื้องจากเกิดปฏิกิริยาไฮโดรไลติกจากปริมาณน้ำที่ปนอยู่ในน้ำมันและผลของสภาวะในการจัดเก็บสามารถคำนวณได้จากการ 10 (Krisnangkura et al., 1991: 56-58) และแสดงผลการคำนวณดังตารางที่ 24

$$AV = \frac{56.1 \times N \times V}{m} \quad (10)$$

AV = ค่าความเป็นกรด มิลลิกรัมโพแทสเซียมไฮดรอกไซด์/กรัมน้ำมัน

N = ความเข้มข้นของสารละลายน้ำมันไข่เดี่ยวโพแทสเซียมไฮดรอกไซด์ (นอร์มัล)

V = ปริมาตรของสารละลายน้ำมันไข่เดี่ยวโพแทสเซียมไฮดรอกไซด์ที่ใช้ในการไทยเทรต (มิลลิลิตร)

m = น้ำหนักน้ำมันพืช (กรัม)

จากค่าของกรดสามารถคำนวณหาปริมาณกรดไขมันอิสระได้ ( $FFA =$  ปริมาณกรดไขมันอิสระ, ร้อยละโดยน้ำหนัก) จากสมการ 11 (Krisnangkura et al., 1991: 56-58)

$$\% FFA (\text{as palmitic acid}) = \frac{AV}{2.19} \quad (11)$$

**ตารางที่ 24 ผลการคำนวณค่าของกรดของเมทิลเอสเทอร์จากน้ำมันปาล์ม น้ำมันที่เหลือใช้จากการหดตัว น้ำมันถั่วเหลือง และน้ำมันละหุ่ง**

เมทิลเอสเทอร์	HG <sub>(FAME)</sub> (mg KOH/g)
จากน้ำมันปาล์ม	0.220
จากน้ำมันที่เหลือใช้จากการหดตัว	0.320
จากน้ำมันถั่วเหลือง	0.230
จากน้ำมันละหุ่ง	0.220

ค่าของกรด สามารถบอกปริมาณกรดไขมันอิสระ ในวัสดุคืน้ำมันพืชและปริมาณกรดที่ใช้ในกระบวนการผลิตใบโอดีเซล ซึ่งมีผลดัดการกัดกร่อนในเครื่องเบนท์ และแสดงถึงการเสื่อมสภาพของน้ำมัน เนื่องจากเกิดปฏิกิริยาไฮโดร ไลซิชากริปโนน้ำที่ปนอยู่ในน้ำมัน ซึ่งถ้าค่าของกรดมาก การเสื่อมสภาพของน้ำมันจะเพิ่มขึ้นด้วย จากผลการทดลองพบว่า เมทิลเอสเทอร์จากน้ำมันที่ใช้แล้วมีค่าความเป็นกรดมากกว่าเมทิลเอสเทอร์จากน้ำมันชนิดอื่น เนื่องจากน้ำมันที่ผ่านการให้ความร้อนมาแล้วนั้น จะเกิดกรดไขมันอิสระขึ้น ส่งผลให้มีค่าความเป็นกรดเพิ่มขึ้น

**ผลจากการเติมสารต้านอนุมูลอิสระของใบโอดีเซลจากน้ำมันปาล์มน้ำมันที่เหลือใช้จากการหดตัว น้ำมันถั่วเหลือง และน้ำมันละหุ่ง**

ผลจากการทดสอบค่าเสถียรภาพด้วยการเกิดปฏิกิริยาออกซิเดชันด้วยเครื่อง Rancimat แสดงในตารางที่ 25

**ตารางที่ 25 ผลการทดสอบค่าเสถียรภาพด้วยการเกิดปฏิกิริยาออกซิเดชันด้วยเครื่อง Rancimat**

ใบโอดีเซลที่ผลิตจาก	ค่าเสถียรภาพต่อการเกิดปฏิกิริยาออกซิเดชัน (ชั่วโมง)	
	ไม่ผสมสารต้านอนุมูลอิสระ	ผสมสารต้านอนุมูลอิสระ
น้ำมันปาล์ม	15.300	24.800
น้ำมันที่เหลือใช้จากการหดตัว	6.600	9.100
น้ำมันถั่วเหลือง	7.700	9.700
น้ำมันละหุ่ง	14.000	42.300

ผลจากการเดิมสารต้านอนุมูลอิสระที่สังเคราะห์ได้ (2-(3,4-Dihydroxybenzyl) hydroquinone) ในไนโอดีเซลที่เตรียมจากน้ำมันปาล์ม น้ำมันที่เหลือใช้จากการทอด น้ำมันถั่วเหลือง และน้ำมันมะหุงพบว่า ในไนโอดีเซลที่ผสมสารต้านอนุมูลอิสระ ให้ค่าเสถียรภาพดีกว่าการเก็บปฏิกิริยา ออกซิเดชันที่สูงกว่าในไนโอดีเซลที่ไม่ได้ผสมสารต้านอนุมูลอิสระแสดงให้เห็นว่าสารต้านอนุมูลอิสระที่ทำการสังเคราะห์ขึ้นสามารถถัดการเก็บปฏิกิริยาออกซิเดชันได้ และเมื่อจึงทำการเก็บรักษาในไนโอดีเซลไว้เป็นระยะเวลานาน 1 เดือน แล้วทำการทดสอบคุณสมบัติทางเชื้อเพลิงของไนโอดีเซลออกครั้ง เพื่อทำการเปรียบเทียบคุณสมบัติทางเชื้อเพลิงของไนโอดีเซลระหว่างไนโอดีเซลที่ผสมสารต้านอนุมูลอิสระกับไนโอดีเซลที่ไม่ผสมสารต้านอนุมูลอิสระ ดังตารางที่ 26-29

ผลจากการทดสอบสมบัติทางเชื้อเพลิงของไนโอดีเซลจากน้ำมันปาล์มระหว่าง  
ไนโอดีเซลที่ผสมสารต้านอนุมูลอิสระกับไนโอดีเซลที่ไม่ผสมสารต้านอนุมูลอิสระ<sup>ตารางที่ 26</sup>  
ผลการเปรียบเทียบสมบัติทางเชื้อเพลิงของไนโอดีเซลจากน้ำมันปาล์มระหว่าง  
ไนโอดีเซลที่ผสมสารต้านอนุมูลอิสระกับไนโอดีเซลที่ไม่ผสมสารต้านอนุมูลอิสระ

		ไนโอดีเซลเมื่อเวลาผ่านไป 1		
คุณสมบัติทางเชื้อเพลิง ของ ไนโอดีเซล	ค่ามาตรฐาน	ไนโอดีเซล ที่เตรียมได้ ครั้งแรก	เดือน	
		ผสมสารต้าน อนุมูลอิสระ	ไม่ผสมสารต้าน อนุมูลอิสระ	
SN <sub>(lipid)</sub> ( mg KOH/g)	195 - 210	196.740	197.960	195.570
IV <sub>(lipid)</sub> (กรัมไนโอดีน/100g)	ไม่สูงกว่า 120	55.600	55.530	95.740
ค่าซีเทน	49 - 60	56.810	58.720	43.860
HG <sub>(FAME)</sub> (MJ/Kg)	45 - 46	45.180	45.200	45.020
ค่าของกรด ( mg KOH/g)	ไม่สูงกว่า 0.50	0.220	0.110	0.350

ผลการเปรียบเทียบสมบัติทางเชื้อเพลิงของไบโอดีเซลจากน้ำมันปาล์มระหว่างไบโอดีเซลที่ผสมสารด้านอนุมูลอิสระกับไบโอดีเซลที่ไม่ผสมสารด้านอนุมูลอิสระพบว่า ไบโอดีเซลที่ไม่ผสมสารด้านอนุมูลอิสระจะมีคุณสมบัติทางเชื้อเพลิงของไบโอดีเซลลดลง โดยเฉพาะค่าไอกอเด็นและค่าของกรดอะมิโนค่าสูงขึ้นมาก เนื่องจากออกซิเจนในอากาศจะเข้าทำปฏิกิริยา กับพันธะคู่บนสายของกรดไขมันในน้ำมันจนได้สารประกอบไฮโดรเจนper оксидซึ่งแตกตัวต่อไปได้เป็นอนุมูลอิสระของกรดไขมันและอนุมูลอิสระ hydroxyl ซึ่งไวด้วยการออกซิไดซ์เข้าทำปฏิกิริยา กับกรดไขมันในไบโอดีเซลตัวอื่นๆ อีกอย่างรวดเร็ว (Autocatalytic AutoOxidation) แบบปฏิกิริยาลูกโซ่ซึ่งจะยังเพิ่มอนุมูลอิสระของกรดไขมันมากขึ้น และเกิดการออกซิไดซ์ต่อเนื่องอย่างรวดเร็วส่งผลให้ค่าของกรดเพิ่มขึ้น จึงทำให้คุณสมบัติทางเชื้อเพลิงอ่อนแอ มีประสิทธิภาพต่ำลง ในขณะที่ไบโอดีเซลที่ผสมสารด้านอนุมูลอิสระมีคุณสมบัติทางเชื้อเพลิงที่ดีขึ้น เนื่องจากสารด้านอนุมูลอิสระจะเข้าไปทำลายอนุมูลอิสระ โดยการให้หรือรับอิเล็กตรอนกับอนุมูลอิสระ ทำให้ปฏิกิริยาลูกโซ่สิ้นสุดลง ซึ่งสารด้านอนุมูลอิสระโดยดัวของแล้วจะไม่ถูกทำเป็นอนุมูลอิสระ เมื่อทำปฏิกิริยา กับอนุมูลอิสระ เนื่องจากตัวมันเองมีความคงตัว ทั้งในรูปอิเล็กตรอนครบและอิเล็กตรอนขาดหรือเกิน จึงส่งผลให้คุณสมบัติทางเชื้อเพลิงของไบโอดีเซลมีประสิทธิภาพดีขึ้น

ผลจากการทดสอบสมบัติทางเชื้อเพลิงของไบโอดีเซลจากน้ำมันที่ใช้แล้ว ระหว่าง ไบโอดีเซลที่ผสมสารต้านอนุมูลอิสระกับไบโอดีเซลที่ไม่ผสมสารต้านอนุมูลอิสระ ตารางที่ 27 ผลการเปรียบเทียบสมบัติทางเชื้อเพลิงของไบโอดีเซลจากน้ำมันที่เหลือใช้จากการทดสอบระหว่างไบโอดีเซลที่ผสมสารต้านอนุมูลอิสระกับไบโอดีเซลที่ไม่ผสมสารต้านอนุมูลอิสระ

ไบโอดีเซลเมื่อเวลาผ่านไป 1					
คุณสมบัติทางเชื้อเพลิง ของ ไบโอดีเซล	ค่ามาตรฐาน	ไบโอดีเซล		เดือน	
		ที่เตรียมได้ ครั้งแรก	ผสมสารต้าน อนุมูลอิสระ	ไม่ผสมสารต้าน อนุมูลอิสระ	
SN <sub>(lipid)</sub> ( mg KOH/g)	195 - 210	193.400	198.830	19.560	
IV <sub>(lipid)</sub> (กรัมไออกีน/100g)	ไม่สูงกว่า 120	58.860	57.240	105.890	
ค่าซีเทน	49 - 60	51.89	54.52	42.52	
HG <sub>(FAME)</sub> (MJ/Kg)	45 - 46	45.08	45.16	44.82	
ค่าของกรด ( mg KOH/g)	ไม่สูงกว่า 0.50	0.32	0.22	0.45	

ผลการเปรียบเทียบสมบัติทางเชื้อเพลิงของไบโอดีเซลจากน้ำมันที่ใช้แล้วระหว่างไบโอดีเซลที่ผสมสารต้านอนุมูลอิสระกับไบโอดีเซลที่ไม่ผสมสารต้านอนุมูลอิสระ พบว่า ไบโอดีเซลที่ไม่ผสมสารต้านอนุมูลอิสระจะมีคุณสมบัติทางเชื้อเพลิงของไบโอดีเซลลดลง ซึ่งมีแนวโน้ม เช่นเดียวกับน้ำมันปาล์ม แต่ไบโอดีเซลจากน้ำมันที่เหลือใช้จากการทดสอบจะมีคุณสมบัติทางเชื้อเพลิง ของไบโอดีเซลที่ต่ำกว่า ไบโอดีเซลจากน้ำมันปาล์ม โดยเฉพาะไบโอดีเซลจากน้ำมันใช้แล้วที่ไม่คิดมิ สารต้านอนุมูลอิสระ ให้ค่าของกรดและค่าไอก็อกต้านต่ำกว่าค่ามาตรฐาน ซึ่งให้เห็นว่า สารต้านอนุมูล อิสระที่ทำการสังเคราะห์ขึ้น สามารถต้านการเกิดปฏิกิริยาออกซิเดชันได้ ซึ่งสอดคล้องกับผลการ ทดลองในตารางที่ 26 และ 27

ผลจากการทดสอบสมบัติทางเชื้อเพลิงของไบโอดีเซลจากน้ำมันถั่วเหลืองระหว่าง  
ไบโอดีเซลที่ผสมสารด้านอนุมูลอิสระกับไบโอดีเซลที่ไม่ผสมสารด้านอนุมูลอิสระ<sup>1</sup>  
ตารางที่ 28 ผลการเปรียบเทียบสมบัติทางเชื้อเพลิงของไบโอดีเซลจากน้ำมันถั่วเหลืองระหว่าง  
ไบโอดีเซลที่ผสมสารด้านอนุมูลอิสระกับไบโอดีเซลที่ไม่ผสมสารด้านอนุมูลอิสระ

คุณสมบัติทางเชื้อเพลิง ของไบโอดีเซล		ค่ามาตรฐาน	ไบโอดีเซล ที่เตรียมได้ ครั้งแรก		เดือน	
			ผสมสารด้าน อนุมูลอิสระ	ไม่ผสมสารด้าน อนุมูลอิสระ		
SN <sub>(lipid)</sub> ( mg KOH/g)		195 - 210	192.210	196.600	197.570	
IV <sub>(lipid)</sub> (กรัมไบโอดีน/100g)		ไม่สูงกว่า 120	189.220	49.680	95.740	
ค่าชีเทน		49 - 60	33.070	58.720	43.860	
HG <sub>(FAME)</sub> (MJ/Kg)		45 - 46	40.490	45.800	45.020	
ค่าของกรด ( mg KOH/g)		ไม่สูงกว่า 0.50	0.230	0.110	0.350	

ผลการเปรียบเทียบสมบัติทางเชื้อเพลิงของไบโอดีเซลจากน้ำมันถั่วเหลืองระหว่างไบโอดีเซลที่ผสมสารด้านอนุมูลอิสระกับไบโอดีเซลที่ไม่ผสมสารด้านอนุมูลอิสระ พบว่า ไบโอดีเซลที่ไม่ผสมสารด้านอนุมูลอิสระจะมีคุณสมบัติทางเชื้อเพลิงของไบโอดีเซลลดลง

ผลจากการทดสอบสมบัติทางเชื้อเพลิงของไบโอดีเซลจากน้ำมันละหุ่งระหว่าง  
 ในไอดีเซลที่ผสมสารค้านอนมูลอิสระกับไบโอดีเซลที่ไม่ผสมสารค้านอนมูลอิสระ<sup>ตารางที่ 29</sup> ผลการเปรียบเทียบสมบัติทางเชื้อเพลิงของ ไบโอดีเซลจากน้ำมันละหุ่งระหว่าง  
 ในไอดีเซลที่ผสมสารค้านอนมูลอิสระกับไบโอดีเซลที่ไม่ผสมสารค้านอนมูลอิสระ

คุณสมบัติทางเชื้อเพลิง ของ ไบโอดีเซล		ค่ามาตรฐาน	ไบโอดีเซล ที่เตรียมได้ ครั้งแรก		เดือน	
			ผสมสารค้าน อนมูลอิสระ	ไม่ผสมสารค้าน อนมูลอิสระ		
SN <sub>(lipid)</sub> ( mg KOH/g)		195 - 210	186.850	198.830	198.560	
IV <sub>(lipid)</sub> (กรัมไอดีน/100g)	ไม่สูงกว่า	95.410	54.240	105.890		
ค่าซีเกน	120	55.620	54.520	42.520		
HG <sub>(FAME)</sub> (MJ/Kg)	45 - 46	41.950	45.40	44.820		
ค่าของกรด ( mg KOH/g)	ไม่สูงกว่า	0.220	0.200	0.450		
	0.50					

ผลการเปรียบเทียบสมบัติทางเชื้อเพลิงของ ไบโอดีเซลจากน้ำมันละหุ่งระหว่าง ไบโอดีเซลที่  
 ผสมสารค้านอนมูลอิสระกับ ไบโอดีเซลที่ไม่ผสมสารค้านอนมูลอิสระ พนว่า ไบโอดีเซลที่ไม่ผสม  
 สารค้านอนมูลอิสระจะมีคุณสมบัติทางเชื้อเพลิงของ ไบโอดีเซลลดลง

## สรุปผลการวิจัย

จากการสังเคราะห์อนุพันธ์ไซโคลโคโนนจากการทำปฏิกิริยาการควบแน่นแบบอัลคลอต ระหว่าง 1,4-Cyclohexanedione และสารประกอบอัลเดียต์ โดยใช้ ลิเทียมคลอไรด์เป็นดัวเร่งปฏิกิริยา ผลปรากฏว่า 2-(3,4-Dihydroxybenzyl) hydroquinone ให้ผลการด้านอนุมูลอิสระที่ดีที่สุด หลังจากนั้นทำการสังเคราะห์เมทิลเอสเทอร์ (ใบโอดีเซล) โดยใช้น้ำมันที่เป็นวัสดุคุณิตในการสังเคราะห์ที่แตกต่างกัน โดยใช้ น้ำมันปาล์ม น้ำมันที่เหลือจากการทอด น้ำมันถั่วเหลือง และน้ำมันละหุ่ง และวิเคราะห์ค่ามาตรฐานต่างๆ เช่น การวิเคราะห์ร้อยละองค์ประกอบของครด.ไขมันเมทิลเอสเทอร์ ค่าสปอนนิฟิเคชันของครด.ไขมัน ค่าไอโอดีนของครด.ไขมัน ค่าซีเทน ค่าความร้อนของหารเผาไหม้ และค่ากรด ในเมทิลเอสเทอร์ พนว่า ค่าที่ได้อยู่ในช่วงมาตรฐานของใบโอดีเซล และหลังจากนำน้ำมันที่สังเคราะห์ได้มาเดิน สารด้านอนุมูลอิสระที่สังเคราะห์ได้ที่ ความเข้มข้น 250 ppm และนำไปทดสอบค่าเสถียรภาพด้วยการเกิดปฏิกิริยาออกซิเดชันด้วยเครื่อง Rancimat พนว่า เมทิลเอสเทอร์ที่เดินสารด้านอนุมูลอิสระ ให้ค่าเสถียรภาพด้วยการเกิดปฏิกิริยาออกซิเดชันที่สูงกว่าใบโอดีเซล ที่ไม่ได้ทดสอบสารด้านอนุมูลอิสระ แสดงให้เห็นว่าสารด้านอนุมูลอิสระที่ทำการสังเคราะห์ขึ้นสามารถด้านการเกิดปฏิกิริยาออกซิเดชันได้ และเมื่อจึงทำการเก็บรักษาใบโอดีเซลไว้เป็นระยะเวลา 1 เดือน แล้วทำการทดสอบคุณสมบัติทางเชื้อเพลิงของใบโอดีเซลอีกครั้ง เพื่อทำการเปรียบเทียบคุณสมบัติทางเชื้อเพลิงของใบโอดีเซลระหว่างใบดีเซลที่ผ่านสารอนุมูลอิสระกับใบโอดีเซลที่ไม่ผ่านสารอนุมูลอิสระ พนว่า ใบโอดีเซลที่เดินสารด้านอนุมูลอิสระให้ค่าที่อยู่ในเกณฑ์มาตรฐาน และให้ค่าคุณสมบัติที่ดีกว่า ใบโอดีเซลที่ไม่ได้เดินสารด้านอนุมูลอิสระ

## เอกสารอ้างอิง

- กาญจนานาพงษ์ตระกูล และ มนตรี วงศ์ศรี. 2553. ผลของสารต้านออกซิเจนต่อเสื่อมร้าฟเชิงออกซิเดทีฟของน้ำมันในโอดีเซลจากน้ำมันปาล์ม. วิทยานิพนธ์วิศวกรรมศาสตร์มหาบัณฑิต สาขาวิศวกรรมเคมี. จุฬาลงกรณ์มหาวิทยาลัย: กรุงเทพฯ.
- จิต โสกิน สถาพัฒน์สมบดี. 2550. การสังเคราะห์น้ำมันหล่ออิんจากระบวนการกรานเอสเทอโรฟิคชั่นของสารประกอบเมทิลเอสเทอร์จากน้ำมันปาล์มโดยใช้ไครเมทิลออกโซโลพรีน. วิทยานิพนธ์วิศวกรรมศาสตร์มหาบัณฑิต สาขาวิศวกรรมเคมี. มหาวิทยาลัยเทคโนโลยีโลหะประจมนเกล้าพระนครเหนือ: กรุงเทพฯ.
- ณัฐพร บุญมาครอง. 2553. การสังเคราะห์อนุพันธ์ไฮโดรควิโนนโดยใช้อ็อกไซด์ชนิดต่างๆ. รายงานการวิจัยอิสระวิทยาศาสตร์บัณฑิต สาขาวิชาเคมี. มหาวิทยาลัยแม่โจ้: เชียงใหม่.
- ประชาสันติ ไตรยสุทธิ์. 2548. การผลิตไบโอดีเซลจากน้ำมันเมล็ดยางพาราโดยวิธีกรดเอสเทอโรฟิคชั่น และค่า-กรานเอสเทอโรฟิคชั่น. รายงานการวิจัยอิสระวิศวกรรมศาสตร์บัณฑิต สาขาวิศวกรรมเครื่องกล. มหาวิทยาลัยอุบลราชธานี: อุบลราชธานี.
- พนิตา ศิริบังเกิดผล และคณะ. 2544. การศึกษาคุณสมบัติทางเคมีของน้ำมันดีเซลพืช และผลพิษที่เกิดขึ้นเมื่อใช้เป็นเชื้อเพลิง. เอกสารกระทรวงวิทยาศาสตร์เทคโนโลยีและสิ่งแวดล้อม: กรุงเทพฯ. 1-8.
- ภูธร เรืองชัย. 2545. การผลิตไบโอดีเซลจากน้ำมันมะพร้าวแบบต่อเนื่องโดยการเร่งปฏิกิริยาด้วยรังสีไมโครเวฟ. รายงานการวิจัยอิสระวิทยาศาสตร์บัณฑิต สาขาวิชาเทคโนโลยีโลหะชีวเคมี. มหาวิทยาลัยพระจอมเกล้าธนบุรี: กรุงเทพฯ.
- แนน อนรสิทธิ์ และอนร พehrsm. 2543. หลักการและเทคนิคการวิเคราะห์เชิงเครื่องมือ. สำนักพิมพ์ชวนพิมพ์: กรุงเทพฯ. 776 น.
- วิมาลา เมืองอ่อน และ ศรีณา โพธิ์ดี. 2544. การผลิตไบโอดีเซลจากน้ำมันพืชชนิดต่างๆ. รายงานการวิจัยอิสระวิทยาศาสตร์บัณฑิต สาขาวิชาเคมีอุตสาหกรรม. มหาวิทยาลัยเชียงใหม่: เชียงใหม่.
- สิงหนาท หล้าจันทึก และคณะ. 2550. การผลิตไบโอดีเซลจากน้ำมันพืชชนิดต่างๆ. รายงานการวิจัยอิสระวิทยาศาสตร์บัณฑิต สาขาวิชาเคมีอุตสาหกรรม. มหาวิทยาลัยสงขลานครินทร์: สงขลา.

สถาบันวิจัยวิทยาศาสตร์และเทคโนโลยีแห่งประเทศไทย. 2553. การผลิตและการตรวจสอบมาตรฐานไบโอดีเซลเบื้องต้น. เอกสารสถาบันวิจัยวิทยาศาสตร์และเทคโนโลยีแห่งประเทศไทย: กรุงเทพฯ.

อภิญญา วัฒนา. 2551. การศึกษาองค์ประกอบของน้ำมันและการประเมินคุณภาพในการผลิตไบโอดีเซลจากน้ำมันเมล็ดสันโน. รายงานการวิจัยอิสระวิทยาศาสตร์บัณฑิต สาขาวิชาเคมี. มหาวิทยาลัยแม่โจ้: เชียงใหม่.

อุกฤษฎ์ สถาพัฒน์สมบัติ และคณะ. 2552. ผลกระทบของนิกเกิลอัลลอยด์ในสตูเดียมีน้ำมันต่อสีริภพต่อการเกิดปฏิกิริยาออกซิเดชันในไบโอดีเซล. ศูนย์เทคโนโลยีและวัสดุแห่งชาติ. ขุฬาลงกรณ์มหาวิทยาลัย: กรุงเทพฯ. 1-8.

Fangrui M. and Milford A. H. 1999. Biodiesel production: a review. *Bio. Tech.* 21(4): 1-15.

Jittinan M. 2001. *Synthesis and structure-bioactivity relationship of sugar-esters.* M.S. Thesis. Chulalongkorn University: Bangkok.

Krisnangkura K. 1985. A simple method for estimation of cetane index of vegetable oil methyl ester. *J. of AOCS.* 63: 55-58.

Krisnangkura K. and Simaharnnop R. 1991. Estimation of heat of combustion of triglycerides and fatty acid methyl ester. *J. of AOCS.* 68: 56-58.

Mustafa B. and Havva B. 2010. Progress in biodiesel processing. *App. energy.* 87:1815-1835.

Yung L. 2009. The effect of natural and synthetic antioxidants on the oxidation stability of palm diesel. *Fuel.* 85: 867-870.